

1/5/1 (Item 1 from file: 351) [Links](#)
 Fulltext available through: [Order File History](#)
 Derwent WPI
 (c) 2008 The Thomson Corporation. All rights reserved.

0012791078 & Drawing available

WPI Acc no: 2002-646776/200270

XRPX Acc No: N2002-511517

Scheduling correctness checking method for circuit, involves executing symbolic simulation for extracting loop invariant term for determining sufficient set of non-cyclic thread

Patent Assignee: NEC CORP (NIDE)

Inventor: ASHAR P; BHATTACHARYA S; GUPTA A; RAGHUNATHAN A; SUBURAJITTO B

Patent Family (3 patents, 2 & countries)

Patent Number	Kind	Date	Application Number	Kind	Date	Update	Type
JP 2001142937	A	20010525	JP 2000106543	A	20000407	200270	B
US 6745160	B1	20040601	US 1999414815	A	19991008	200436	E
US 20040148150	A1	20040729	US 1999414815	A	19991008	200450	E
			US 2004756303	A	20040114		

Priority Applications (no., kind, date): US 1999414815 A 19991008; US 2004756303 A 20040114

Patent Details

Patent Number	Kind	Lan	Pgs	Draw	Filing Notes	
JP 2001142937	A	JA	37	1		
US 20040148150	A1	EN			Continuation of application	US 1999414815
					Continuation of patent	US 6745160

Alerting Abstract JP A

NOVELTY - A symbolic simulation is executed for extracting the loop invariant term for determining the sufficient set of a non-cyclic thread, when a loop is inside the circuit, and the equivalency of non-cyclic thread is proved.

USE - For checking correctness of scheduling of circuit.

ADVANTAGE - The scheduling correctness of circuit is checked corresponding to behaviors description of circuit, using simple technique.

DESCRIPTION OF DRAWINGS - The figure shows a block diagram of scheduling correctness checking system. (Drawing includes non-English language text).

Title Terms /Index Terms/Additional Words: SCHEDULE; CORRECT; CHECK; METHOD; CIRCUIT; EXECUTE; SYMBOL; SIMULATE; EXTRACT; LOOP; INVARIANT; TERM; DETERMINE; SUFFICIENT; SET; NON; CYCLIC; THREAD

Class Codes

International Patent Classification

IPC	Class Level	Scope	Position	Status	Version Date
G06F-017/50			Main		"Version 7"
G06F-0017/50	A	I		R	20060101
G06F-0017/50	C	I		R	20060101

US Classification, Issued: 70314, 70314, 70313, 70315, 70316, 7161, 7168

(19)日本国特許庁 (J P)

(12) 公 開 特 許 公 報 (A)

(11)特許出願公開番号

特開2001-142937

(P2001-142937A)

(43)公開日 平成13年5月25日(2001.5.25)

(51)Int.Cl.⁷

G 0 6 F 17/50

識別記号

6 6 4

F I

G 0 6 F 17/50

テーマコード(参考)

6 6 4 G 5 B 0 4 6

審査請求 未請求 請求項の数43 O L (全 37 頁)

(21)出願番号 特願2000-106543(P2000-106543)

(22)出願日 平成12年4月7日(2000.4.7)

(31)優先権主張番号 09/414815

(32)優先日 平成11年10月8日(1999.10.8)

(33)優先権主張国 米国(US)

(71)出願人 000004237

日本電気株式会社

東京都港区芝五丁目7番1号

(72)発明者 プラナブ・アシャー

アメリカ合衆国, ニュージャージー

08540 プリンストン, 4 インディペン

デンス ウエイ, エヌ・イー・シー・ユ

ー・エス・エー・インク内

(74)代理人 100097157

弁理士 桂木 雄二

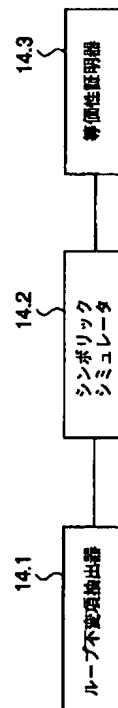
最終頁に続く

(54)【発明の名称】 回路のスケジューリング正当性チェック方法及びスケジュール検証方法

(57)【要約】

【課題】 回路のスケジューリングの正当性をチェックする方法、及び、回路のビヘイビア記述に対して回路のスケジュールを検証する方法を実現する。

【解決手段】 回路に対するスケジュールはビヘイビア記述から得られる。回路のスケジューリングの正当性をチェックする方法は、ループが回路内にあるときに非巡回スレッドの十分なセットを決定するためにループ不変項を抽出し、ループ不変項を抽出するためにシンボリックシミュレーションを実行し、非巡回スレッドの等価性を証明する。回路のビヘイビア記述に対して回路のスケジュールを検証する方法は、スケジュールからループを含む可能性のある実行のスケジュールスレッドを選択し、ビヘイビア記述から対応するビヘイビアスレッドを識別し、スケジュールスレッド及びビヘイビアスレッドの無条件等価性を証明し、実行のすべてのスレッドについて以上を繰り返す。



【特許請求の範囲】

【請求項 1】 回路に対するスケジュールがビヘイビア記述から得られる場合の当該回路のスケジューリングの正当性をチェックする方法において、

(a) ループが回路内にあるときに非巡回スレッドの十分なセットを決定するためにループ不変項を抽出するステップと、

(b) 前記ループ不変項を抽出するためにシンボリックシミュレーションを実行するステップと、

(c) 前記非巡回スレッドの等価性を証明するステップと、

からなることを特徴とする回路スケジューリング正当性チェック方法。

【請求項 2】 前記ビヘイビア記述は、サイクル境界の導入によって変換されることを特徴とする請求項 1 記載の方法。

【請求項 3】 前記ビヘイビア記述は、演算並べ替えによって変換されることを特徴とする請求項 1 記載の方法。

【請求項 4】 前記ビヘイビア記述は、ループの展開、巻付け、折畳み及びパイプライン化によって変換されることを特徴とする請求項 1 記載の方法。

【請求項 5】 前記ビヘイビア記述は、演算の投機実行によって変換されることを特徴とする請求項 1 記載の方法。

【請求項 6】 前記ステップ (c) は、シンボリックシミュレーションを用いて実行されることを特徴とする請求項 1 記載の方法。

【請求項 7】 回路のビヘイビア記述に対して回路のスケジュールを検証する方法において、

(a) 前記スケジュールから、ループを含む可能性のある実行のスケジュールスレッドを選択するステップと、

(b) 前記ビヘイビア記述から、対応するビヘイビアスレッドを識別するステップと、

(c) スケジュールスレッド及びビヘイビアスレッドの無条件等価性を証明するステップと、

(d) 実行のすべてのスレッドについて前記ステップ (a) ～ (c) を繰り返すステップと、

からなることを特徴とする回路スケジュール検証方法。

【請求項 8】 前記スケジュールは、スケジュール状態遷移グラフとして指定されることを特徴とする請求項 7 記載の方法。

【請求項 9】 前記ビヘイビアは、ビヘイビア状態遷移グラフとして指定されることを特徴とする請求項 7 記載の方法。

【請求項 10】 前記ステップ (c) は、

(i) 前記スケジュールスレッドをスケジュール構造グラフに変換するとともに前記ビヘイビアスレッドをビヘイビア構造グラフに変換するステップと、

(i i) 前記スケジュール構造グラフと前記ビヘイビア

構造グラフの等価性をチェックするステップと、からなることを特徴とする請求項 7 記載の方法。

【請求項 11】 回路のビヘイビア記述に対して回路のスケジュールを検証する方法において、

(a) スケジュールをスケジュール状態遷移グラフとして指定するステップと、

(b) 回路のビヘイビアをビヘイビア状態遷移グラフとして表現するステップと、

(c) 前記スケジュール状態遷移グラフから、実行のスケジュールスレッドを選択するステップと、

(d) 前記ビヘイビア状態遷移グラフから、対応するビヘイビアスレッドを識別するステップと、

(e) 前記スケジュールスレッドをスケジュール構造グラフに変換するとともに前記ビヘイビアスレッドをビヘイビア構造グラフに変換するステップと、

(f) 前記スケジュール構造グラフと前記ビヘイビア構造グラフの等価性をチェックするステップと、

(g) 実行のすべてのスレッドについて前記ステップ (c) ～ (f) を繰り返すステップと、

からなることを特徴とする回路スケジュール検証方法。

【請求項 12】 前記ステップ (f) は、

(i) 前記ビヘイビア状態遷移グラフ内の各ノードが該ノードの推移ファンイン内のすべてのノードの後にのみ現れるように、前記ビヘイビア構造グラフ内のすべてのノードを含む順序セット $arr1$ を作成するステップと、

(i i) 前記ビヘイビア構造グラフ内の各ノードが該ノードの推移ファンイン内のすべてのノードの後にのみ現れるように、前記スケジュール構造グラフ内のすべてのノードを含む順序セット $arr2$ を作成するステップと、

(i i i) $arr1$ をたどり、ビヘイビア構造グラフ内の基底変数を識別するステップと、

(i v) ビヘイビア構造グラフ内の非基底変数を基底変数で表すステップと、

(v) スケジュール構造グラフ内の入力ノードに対する等価性リストを構成するステップと、

(v i) $arr2$ をたどり、 $arr2$ 内の各ノードを処理して、スケジュール構造グラフの入力からスケジュール構造グラフの出力へ等価性リストを伝搬させるステップと、

(v i i) u をビヘイビア構造グラフ内の信号の識別子とし、 c を等価性の条件を表す二分決定ダイヤグラムであるとして、各等価性リスト内のエントリは対 (u, c) であり、ビヘイビア構造グラフ内の対応する出力ノードで等価性が確定したかどうか、及び、対応する条件 c が $arr2$ 内のプライマリ出力ノードに対するトートロジーであるかどうかをチェックするステップと、

(v i i i) $arr2$ 内のすべての出力ノードについて前記ステップ (v i i) を繰り返すステップと、

(i x) すべての出力ノードが等価であることがわかった場合に等価性を見つけるステップと、
からなることを特徴とする請求項 11 記載の方法。

【請求項 13】 実行の巡回スレッドを有する可能性のある回路のスケジュールと該回路のビヘイビアとの間の等価性を検証する方法において、

(a) スケジュールをスケジュール状態遷移グラフとして表現するステップと、

(b) ビヘイビアをビヘイビア状態遷移グラフとして表現するステップと、

(c) 前記スケジュール状態遷移グラフ内の強連結成分を識別するステップと、

(d) 各強連結成分内の終了ノードを識別するステップと、

(e) 前記スケジュール状態遷移グラフをつぶして、前記強連結成分を通らないサブパスを併合するステップと、

(f) 以前に選択されていないパスを選択するステップと、

(g) 前記ステップ (f) で選択されたパスに対する構造 RTL 回路を取得するステップと、

(h) 選択されたパスを列挙するのに必要なすべての状態遷移決定をカプセル化するパッシングナルを生成するための回路を構造 RTL 回路に追加するステップと、

(i) パッシングナルを用いて、制約されたシンボリックシミュレーションを実行してビヘイビア状態遷移グラフ内の対応するパスを識別し、該パスに対する構造 RTL 回路を取得するステップと、

(j) 選択されたパスにおいて、以前に選択されていない強連結成分を選択するステップと、

(k) 選択されたパス内の選択された強連結成分に対する不変項を、対応セットのリストとして抽出するステップと、

(l) 対応セットのリストから 1 つの対応セットを選択するステップと、

(m) 選択された対応セットが、前のシンボリックシミュレーションの強連結成分カットにおいて得られる変数対応より小さい場合に、シンボリックシミュレーションを再実行するステップと、

(n) 対応セットのリスト内の各対応セットについて前記ステップ (i) ~ (m) を繰り返すステップと、

(o) 出力等価性条件が、パス条件以外の条件付きであるかどうかをテストするステップと、

(p) 前記ステップ (o) で前記出力等価性が条件付きである場合に非等価性を報告してこの方法を終了するステップと、

(q) 選択されたパス内のすべての強連結成分について前記ステップ (j) ~ (p) を繰り返すステップと、

(r) 終了点が高々 3 度現れるようにルートからシンクへのすべてのパスについて前記ステップ (f) ~ (q)

を繰り返すステップと、
からなることを特徴とする前記回路のスケジュールとビヘイビアとの間の等価性を検証する方法。

【請求項 14】 前記ステップ (i) の制約されないシンボリックシミュレーションは、

(i) ビヘイビア状態遷移グラフの始状態を許容パスリストに割り当てるステップと、

(i i) 許容パスリスト内で以前に訪れていない状態を選択するステップと、

10 (i i i) ビヘイビア構造 RTL を生成するステップと、

(i v) 非解釈シンボリックシミュレーションを実行して、スケジュール構造 RTL 及びビヘイビア構造 RTL 内の対応する信号を識別するステップと、

(v) 遷移条件とパッシングナルの論理積がゼロでない場合に、状態 S_j の新しいコピーを許容パスに追加するステップと、

(v i) S_i から S_j への各出遷移ごとに前記ステップ (v) を繰り返すステップと、

20 (v i i) 許容パス内に残る訪れていない状態のみが終状態のインスタンスとなるまで、すべての訪れていない状態について前記ステップ (i i i) ~ (v i) を繰り返すステップと、

からなるプロセスを用いて実行されることを特徴とする請求項 13 記載の方法。

【請求項 15】 前記ステップ (k) において、不変項は、各ループごとに、

(i) 各カットが前記ループの各実行の境界における変数値を表すような、スケジュール内のパスの構造 RTL 回路内の 3 個のカットを識別するステップと、

30 (i i) ビヘイビアにおけるパスの構造 RTL 回路内の対応するカットを識別して、第 1 と第 2 のカットの間のサブ回路と、第 2 と第 3 のカットの間のサブ回路が同型であることをチェックするステップと、

(i i i) スケジュール及びビヘイビアの RTL 回路における対応するカットの各対における変数どうしの間の等価関係を識別するステップと、

(i v) 最後のカットと最後の前のカットとの間の等価関係が同一であるかどうかをチェックするステップと、

40 (v) 前記ステップ (i v) の関係が同一でなく、かつ、最後のカットにおける等価関係が、最後の前のカットにおける等価関係のサブセットである場合、最後の前のカットにおける等価関係を破棄し、1 つ以上のループ実行について 2 つの RTL 回路を展開して、前記ステップ (i i i) から繰り返すステップと、

(v i) 前記ステップ (i v) の関係が同一でなく、かつ、最後のカットにおける等価関係が、最後の前のカットにおける等価関係のサブセットでない場合、最後の前のカットにおける等価関係を、等価関係セットの集合に追加し、1 つ以上のループ実行について 2 つの RTL 回

5

路を展開して、前記ステップ (i i i) から繰り返すステップと、

(v i i) 前記ステップ (i v) の関係が同一である場合、最後のカットにおける等価関係を、等価関係セットの集合に追加するステップと、

(v i i i) 等価関係セットの集合内で、他のエントリのスーパーセットであるすべてのエントリを削除するステップと、

(i x) 等価関係セットの最終集合を、不変項の所望の集合として指定するステップと、
 からなるプロセスを用いてループから抽出されることを特徴とする請求項 13 記載の方法。

【請求項 16】 回路に対するスケジューリングがビヘイビア記述から得られ、回路のスケジューリングの正当性をチェックするシステムにおいて、
 ループが存在するときに非巡回スレッドの十分なセットを決定するループ不変項抽出器と、
 前記ループ不変項を抽出するシンボリックシミュレータと、
 非巡回スレッドの等価性を証明する等価性証明器と、
 からなることを特徴とする回路のスケジューリングの正当性をチェックするシステム。

【請求項 17】 前記ビヘイビア記述は、サイクル境界の導入によって変換されることを特徴とする請求項 16 記載のシステム。

【請求項 18】 前記ビヘイビア記述は、演算並べ替えによって変換されることを特徴とする請求項 16 記載のシステム。

【請求項 19】 前記ビヘイビア記述は、ループの展開、巻付け、折畳み及びパイプライン化によって変換されることを特徴とする請求項 16 記載のシステム。

【請求項 20】 前記ビヘイビア記述は、演算の投機実行によって変換されることを特徴とする請求項 16 記載のシステム。

【請求項 21】 回路のビヘイビア記述に対して回路のスケジューリングを検証するシステムにおいて、
 スケジューリングをスケジュール状態遷移グラフとして指定するスケジュール状態遷移グラフジェネレータと、
 回路のビヘイビアをビヘイビア状態遷移グラフとして指定するビヘイビア状態遷移グラフジェネレータと、
 前記スケジュール状態遷移グラフから、実行のスケジュールスレッドを選択するスケジュールスレッドセレクトと、
 前記ビヘイビア状態遷移グラフから、対応するビヘイビアスレッドを選択するビヘイビアスレッドセレクトと、
 前記スケジュールスレッドをスケジュール構造グラフに変換するとともに前記ビヘイビアスレッドをビヘイビア構造グラフに変換するコンバータと、
 前記スケジュール構造グラフと前記ビヘイビア構造グラフの等価性をチェックする等価性チェッカと、

6

からなることを特徴とする回路のビヘイビア記述に対して回路のスケジューリングを検証するシステム。

【請求項 22】 回路のスケジューリングの正当性をチェックするための、

プロセッサ及びメモリを有するコンピュータシステムにおいて、

回路に対するスケジューリングは、ビヘイビア記述から得られ、

10 前記メモリは、前記コンピュータシステムが前記チェックを実行することを可能にする命令を含み、該命令は、
 ループが存在するときに非巡回スレッドの十分なセットを決定するためにループ不変項を抽出する命令と、
 ループ不変項を抽出するためのシンボリックシミュレーションの命令と、

非巡回スレッドの等価性を証明する命令と、
 を含むことを特徴とする回路のスケジューリングの正当性をチェックするためのコンピュータシステム。

【請求項 23】 前記ビヘイビア記述は、サイクル境界の導入によって変換されることを特徴とする請求項 22 記載のコンピュータシステム。

【請求項 24】 前記ビヘイビア記述は、演算並べ替えによって変換されることを特徴とする請求項 22 記載のコンピュータシステム。

【請求項 25】 前記ビヘイビア記述は、ループの展開、巻付け、折畳み及びパイプライン化によって変換されることを特徴とする請求項 22 記載のコンピュータシステム。

【請求項 26】 前記ビヘイビア記述は、演算の投機実行によって変換されることを特徴とする請求項 22 記載のコンピュータシステム。

【請求項 27】 回路のビヘイビア記述に対して回路のスケジューリングを検証するための、プロセッサ及びメモリを有するコンピュータシステムにおいて、
 前記メモリは、前記コンピュータシステムが前記検証を実行することを可能にする命令を含み、該命令は、
 スケジューリングをスケジュール状態遷移グラフとして指定する命令と、
 回路のビヘイビアをビヘイビア状態遷移グラフとして表現する命令と、

40 前記スケジュール状態遷移グラフから、実行のスケジュールスレッドを選択する命令と、
 前記ビヘイビア状態遷移グラフから、対応するビヘイビアスレッドを選択する命令と、
 前記スケジュールスレッドをスケジュール構造グラフに変換するとともに前記ビヘイビアスレッドをビヘイビア構造グラフに変換する命令と、
 前記スケジュール構造グラフと前記ビヘイビア構造グラフの等価性をチェックする命令と、
 実行のすべてのスレッドについて繰り返す命令と、
 50 を含むことを特徴とする、回路のビヘイビア記述に対し

て回路のスケジュールを検証するためのコンピュータシステム。

【請求項 28】 回路のビヘイビア記述に対して回路のスケジュールを検証するための、プロセッサ及びメモリを有するコンピュータシステムにおいて、
前記メモリは、前記コンピュータシステムが、

(a) スケジュールをスケジュール状態遷移グラフとして指定するステップと、

(b) 回路のビヘイビアをビヘイビア状態遷移グラフとして表現するステップと、

(c) 前記スケジュール状態遷移グラフから、実行のスケジュールスレッドを選択するステップと、

(d) 前記ビヘイビア状態遷移グラフから、対応するビヘイビアスレッドを識別するステップと、

(e) 前記スケジュールスレッドをスケジュール構造グラフに変換するとともに前記ビヘイビアスレッドをビヘイビア構造グラフに変換するステップと、

(f) 前記スケジュール構造グラフと前記ビヘイビア構造グラフの等価性をチェックするステップと、

(g) 実行のすべてのスレッドについて前記ステップ (c) ～ (f) を繰り返すステップと

を実行することを可能にする命令を含むことを特徴とする、回路のビヘイビア記述に対して回路のスケジュールを検証するためのコンピュータシステム。

【請求項 29】 前記命令は、前記コンピュータシステムが、

(i) 前記ビヘイビア状態遷移グラフ内の各ノードが該ノードの推移ファンイン内のすべてのノードの後にのみ現れるように、前記ビヘイビア構造グラフ内のすべてのノードを含む順序セット $a r r 1$ を作成するステップと、

(i i) 前記ビヘイビア構造グラフ内の各ノードが該ノードの推移ファンイン内のすべてのノードの後にのみ現れるように、前記スケジュール構造グラフ内のすべてのノードを含む順序セット $a r r 2$ を作成するステップと、

(i i i) $a r r 1$ をたどり、ビヘイビア構造グラフ内の基底変数を識別するステップと、

(i v) ビヘイビア構造グラフ内の非基底変数を基底変数で表すステップと、

(v) スケジュール構造グラフ内の入力ノードに対する等価性リストを構成するステップと、

(v i) $a r r 2$ をたどり、 $a r r 2$ 内の各ノードを処理して、スケジュール構造グラフの入力からスケジュール構造グラフの出力へ等価性リストを伝搬させるステップと、

(v i i) 各等価性リスト内のエントリは対 (u, c) であり、 u はビヘイビア構造グラフ内の信号の識別子であり、 c は等価性の条件を表す二分決定ダイアグラムであるとして、ビヘイビア構造グラフ内の対応する出力ノ

ードで等価性が確定したかどうか、及び、対応する条件 c が $a r r 2$ 内のプライマリ出力ノードに対するトートロジーであるかどうかをチェックするステップと、

(v i i i) $a r r 2$ 内のすべての出力ノードについて前記ステップ (v i i) を繰り返すステップと、

(i x) すべての出力ノードが等価であることがわかった場合に等価性を見つけたとするステップと、

を用いて前記ステップ (f) を実行することを可能にする命令をさらに含むことを特徴とする請求項 28 に記載のコンピュータシステム。

【請求項 30】 回路のスケジュールと該回路のビヘイビアとの間の等価性を検証するための、プロセッサ及びメモリを有するコンピュータシステムにおいて、
前記スケジュール及び前記ビヘイビアは、実行の巡回スレッドを有する可能性があり、
前記メモリは、前記コンピュータシステムが、

(a) スケジュールをスケジュール状態遷移グラフとして表現するステップと、

(b) ビヘイビアをビヘイビア状態遷移グラフとして表現するステップと、

(c) 前記スケジュール状態遷移グラフ内の強連結成分を識別するステップと、

(d) 各強連結成分内の終了ノードを識別するステップと、

(e) 前記スケジュール状態遷移グラフをつぶして、前記強連結成分を通らないサブパスを併合するステップと、

(f) 以前に選択されていないパスを選択するステップと、

(g) 前記ステップ (f) で選択されたパスに対する構造 R T L 回路を取得するステップと、

(h) 選択されたパスを列挙するのに必要なすべての状態遷移決定をカプセル化するパッシングナルを生成するための回路を構造 R T L 回路に追加するステップと、

(i) パッシングナルを用いて、制約されたシンボリックシミュレーションを実行してビヘイビア状態遷移グラフ内の対応するパスを識別するステップと、

(j) 選択されたパスにおいて、以前に選択されていない強連結成分を選択するステップと、

(k) 選択されたパス内の選択された強連結成分に対する不変項を、対応セットのリストとして抽出するステップと、

(l) 対応セットのリストから 1 つの対応セットを選択するステップと、

(m) 選択された対応セットが、前のシンボリックシミュレーションの強連結成分カットにおいて得られる変数対応より小さい場合に、シンボリックシミュレーションを再実行するステップと、

(n) 対応セットのリスト内の各対応セットについて前記ステップ (i) ～ (m) を繰り返すステップと、

(o) 出力等価性条件が、非等価性を報告するパス条件以外の条件付きであるかどうかをテストするステップと、

(p) 前記ステップ (o) で前記出力等価性が条件付きである場合にこの検証を終了するステップと、

(q) 選択されたパス内のすべての強連結成分について前記ステップ (j) ~ (p) を繰り返すステップと、

(r) 終了点が高々 3 度現れるようにルートからシンクへのすべてのパスについて前記ステップ (f) ~ (q) を繰り返すステップとを用いて前記検証を実行することを可能にすることを特徴とする、回路のスケジュールと該回路のビヘイビアとの間の等価性を検証するためのコンピュータシステム。

【請求項 3 1】 前記命令は、前記コンピュータシステムが、

(i) ビヘイビア状態遷移グラフの始状態を許容パスリストに割り当てるステップと、

(i i) 許容パスリスト内で以前に訪れていない状態を選択するステップと、

(i i i) ビヘイビア構造 R T L を生成するステップと、

(i v) 非解釈シンボリックシミュレーションを実行して、スケジュール構造 R T L 及びビヘイビア構造 R T L 内の対応する信号を識別するステップと、

(v) 遷移条件とパスシグナルの論理積がゼロでない場合に、状態 S_j の新しいコピーを許容パスに追加するステップと、

(v i) S_i から S_j への各出遷移ごとに前記ステップ (v) を繰り返すステップと、

(v i i) 許容パス内に残る訪れていない状態のみが終状態のインスタンスとなるまで、すべての訪れていない状態について前記ステップ (i i i) ~ (v i) を繰り返すステップとを用いてステップ (i) を実行することを可能にする命令をさらに含むことを特徴とする請求項 3 0 に記載のコンピュータシステム。

【請求項 3 2】 前記命令は、前記コンピュータシステムが、各ループごとに、

(i) 各カットが前記ループの各実行の境界における変数値を表すような、スケジュール内のパスの構造 R T L 回路内の 3 個のカットを識別するステップと、

(i i) ビヘイビアにおけるパスの構造 R T L 回路内の対応するカットを識別して、第 1 と第 2 のカットの間のサブ回路と、第 2 と第 3 のカットの間のサブ回路が同型であることをチェックするステップと、

(i i i) スケジュール及びビヘイビアの R T L 回路における対応するカットの各対における変数どうしの間の等価関係を識別するステップと、

(i v) 最後のカットと最後の前のカットとの間の等価関係が同一であるかどうかをチェックするステップと、

(v) 前記ステップ (i v) の関係が同一でなく、か

つ、最後のカットにおける等価関係が、最後の前のカットにおける等価関係のサブセットである場合、最後の前のカットにおける等価関係を破棄し、1 つ以上のループ実行について 2 つの R T L 回路を展開して、前記ステップ (i i i) から繰り返すステップと、

(v i) 前記ステップ (i v) の関係が同一でなく、かつ、最後のカットにおける等価関係が、最後の前のカットにおける等価関係のサブセットでない場合、最後の前のカットにおける等価関係を、等価関係セットの集合に追加し、1 つ以上のループ実行について 2 つの R T L 回路を展開して、前記ステップ (i i i) から繰り返すステップと、

(v i i) 前記ステップ (i v) の関係が同一である場合、最後のカットにおける等価関係を、等価関係セットの集合に追加するステップと、

(v i i i) 等価関係セットの集合内で、他のエントリのスーパーセットであるすべてのエントリを削除するステップと、

(i x) 等価関係セットの最終集合を、不変項の所望の集合として指定するステップと、

を用いて前記ステップ (k) を実行することを可能にする命令をさらに含むことを特徴とする請求項 3 0 記載のコンピュータシステム。

【請求項 3 3】 コンピュータが回路のスケジュールリングの正当性をチェックすることを可能にするコンピュータコードを含むコンピュータ可読媒体を有するコンピュータプログラム製品において、回路に対するスケジュールは、ビヘイビア記述から得られ、

30 前記コンピュータコードは、

ループが存在するときに非巡回スレッドの十分なセットを決定するためにループ不変項を抽出するコンピュータコードと、

ループ不変項を抽出するためのシンボリックシミュレーションのコンピュータコードと、

非巡回スレッドの等価性を証明するコンピュータコードとを含むことを特徴とする、コンピュータが回路のスケジュールリングの正当性をチェックすることを可能にするコンピュータコードを含むコンピュータ可読媒体を有するコンピュータプログラム製品。

40

【請求項 3 4】 前記ビヘイビア記述は、サイクル境界の導入によって変換されることを特徴とする請求項 3 3 記載のコンピュータプログラム製品。

【請求項 3 5】 前記ビヘイビア記述は、演算並べ替えによって変換されることを特徴とする請求項 3 3 記載のコンピュータプログラム製品。

【請求項 3 6】 前記ビヘイビア記述は、ループの展開、巻付け、折畳み及びパイプライン化によって変換されることを特徴とする請求項 3 3 記載のコンピュータプログラム製品。

【請求項 37】 前記ビヘイビア記述は、演算の投機実行によって変換されることを特徴とする請求項 33 記載のコンピュータプログラム製品。

【請求項 38】 コンピュータが回路のビヘイビア記述に対して回路のスケジュールを検証することを可能にするコンピュータコードを含むコンピュータ可読媒体を有するコンピュータプログラム製品において、該コンピュータコードは、

前記コンピュータが、スケジュールをスケジュール状態遷移グラフとして指定することを可能にするスケジュール状態遷移グラフジェネレータコードと、

前記コンピュータが、回路のビヘイビアをビヘイビア状態遷移グラフとして指定することを可能にするビヘイビア状態遷移グラフジェネレータコードと、

前記コンピュータが、前記スケジュール状態遷移グラフから、実行のスケジュールスレッドを選択することを可能にするスケジュールスレッドセクタコードと、

前記コンピュータが、前記ビヘイビア状態遷移グラフから、対応するビヘイビアスレッドを選択することを可能にするビヘイビアスレッドセクタコードと、前記コン

ピュータが、前記スケジュールスレッドをスケジュール構造グラフに変換するとともに前記ビヘイビアスレッドをビヘイビア構造グラフに変換することを可能にするコンバータコードと、

前記コンピュータが、前記スケジュール構造グラフと前記ビヘイビア構造グラフの等価性をチェックすることを可能にする等価性チェッカコードと、

からなることを特徴とする、コンピュータが回路のビヘイビア記述に対して回路のスケジュールを検証することを可能にするコンピュータコードを含むコンピュータ可読媒体を有するコンピュータプログラム製品。

【請求項 39】 コンピュータが回路のビヘイビア記述に対して回路のスケジュールを検証することを可能にするコンピュータコードを含むコンピュータ可読媒体を有するコンピュータプログラム製品において、

前記コンピュータコードは、前記コンピュータが、

(a) スケジュールをスケジュール状態遷移グラフとして指定するステップと、

(b) 回路のビヘイビアをビヘイビア状態遷移グラフとして表現するステップと、

(c) 前記スケジュール状態遷移グラフから、実行のスケジュールスレッドを選択するステップと、

(d) 前記ビヘイビア状態遷移グラフから、対応するビヘイビアスレッドを識別するステップと、

(e) 前記スケジュールスレッドをスケジュール構造グラフに変換するとともに前記ビヘイビアスレッドをビヘイビア構造グラフに変換するステップと、

(f) 前記スケジュール構造グラフと前記ビヘイビア構造グラフの等価性をチェックするステップと、

(g) 実行のすべてのスレッドについて前記ステップ

(c) ~ (f) を繰り返すステップと、

を実行することを可能にすることを特徴とする、コンピュータが回路のビヘイビア記述に対して回路のスケジュールを検証することを可能にするコンピュータコードを含むコンピュータ可読媒体を有するコンピュータプログラム製品。

【請求項 40】 前記コンピュータコードは、前記コンピュータが、

(i) 前記ビヘイビア状態遷移グラフ内の各ノードが該ノードの推移ファンイン内のすべてのノードの後にのみ現れるように、前記ビヘイビア構造グラフ内のすべてのノードを含む順序セット `arr1` を作成するステップと、

(i i) 前記ビヘイビア構造グラフ内の各ノードが該ノードの推移ファンイン内のすべてのノードの後にのみ現れるように、前記スケジュール構造グラフ内のすべてのノードを含む順序セット `arr2` を作成するステップと、

(i i i) `arr1` をたどり、ビヘイビア構造グラフ内の基底変数を識別するステップと、

(i v) ビヘイビア構造グラフ内の非基底変数を基底変数で表すステップと、

(v) スケジュール構造グラフ内の入力ノードに対する等価性リストを構成するステップと、

(v i) `arr2` をたどり、`arr2` 内の各ノードを処理して、スケジュール構造グラフの入力からスケジュール構造グラフの出力へ等価性リストを伝搬させるステップと、

(v i i) 各等価性リスト内のエントリは対 (u, c) であり、 u はビヘイビア構造グラフ内の信号の識別子であり、 c は等価性の条件を表す二分決定ダイアグラムであるとして、ビヘイビア構造グラフ内の対応する出力ノードで等価性が確定したかどうか、及び、対応する条件 c が `arr2` 内のプライマリ出力ノードに対するトートロジーであるかどうかをチェックするステップと、

(v i i i) `arr2` 内のすべての出力ノードについて前記ステップ (v i i) を繰り返すステップと、

(i x) すべての出力ノードが等価であることがわかった場合に等価性を見つけたとするステップと、

を用いて前記ステップ (f) を実行することを可能にすることを特徴とする請求項 39 記載のコンピュータプログラム製品。

【請求項 41】 コンピュータが回路のスケジュールと該回路のビヘイビアとの間の等価性を検証することを可能にするコンピュータコードを含むコンピュータ可読媒体を有するコンピュータプログラム製品において、前記スケジュール及び前記ビヘイビアは、実行の巡回スレッドを有する可能性があり、

前記コンピュータコードは、前記コンピュータが、

(a) スケジュールをスケジュール状態遷移グラフとし

10

20

30

40

50

て表現するステップと、

(b) ビヘイビアをビヘイビア状態遷移グラフとして表現するステップと、

(c) 前記スケジュール状態遷移グラフ内の強連結成分を識別するステップと、

(d) 各強連結成分内の終了ノードを識別するステップと、

(e) 前記スケジュール状態遷移グラフをつぶして、前記強連結成分を通らないサブパスを併合するステップと、

(f) 以前に選択されていないパスを選択するステップと、

(g) 前記ステップ (f) で選択されたパスに対する構造RTL回路を取得するステップと、

(h) 選択されたパスを列挙するのに必要なすべての状態遷移決定をカプセル化するパスシグナルを生成するための回路を構造RTL回路に追加するステップと、

(i) パスシグナルを用いて、制約されたシンボリックシミュレーションを実行してビヘイビア状態遷移グラフ内の対応するパスを識別し、該パスに対する構造RTL回路を取得するステップと、

(j) 選択されたパスにおいて、以前に選択されていない強連結成分を選択するステップと、

(k) 選択されたパス内の選択された強連結成分に対する不変項を、対応セットのリストとして抽出するステップと、

(l) 対応セットのリストから1つの対応セットを選択するステップと、

(m) 選択された対応セットが、前のシンボリックシミュレーションの強連結成分カットにおいて得られる変数対応より小さい場合に、シンボリックシミュレーションを再実行するステップと、

(n) 対応セットのリスト内の各対応セットについて前記ステップ (i) ~ (m) を繰り返すステップと、

(o) 出力等価性条件が、パス条件以外の条件付きであるかどうかをテストするステップと、

(p) 前記ステップ (o) で前記出力等価性が条件付きである場合に非等価性を報告してこの方法を終了するステップと、

(q) 選択されたパス内のすべての強連結成分について前記ステップ (j) ~ (p) を繰り返すステップと、

(r) 終了点が高々3度現れるようにルートからシンクへのすべてのパスについて前記ステップ (f) ~ (q) を繰り返すステップと、

を実行することを可能にすることを特徴とする、コンピュータが回路のスケジュールと該回路のビヘイビアとの間の等価性を検証することを可能にするコンピュータコードを含むコンピュータ可読媒体を有するコンピュータプログラム製品。

【請求項42】 前記コンピュータコードは、前記コン

ピュータが、

(i) ビヘイビア状態遷移グラフの始状態を許容パスリストに割り当てるステップと、

(i i) 許容パスリスト内で以前に訪れていない状態を選択するステップと、

(i i i) ビヘイビア構造RTLを生成するステップと、

(i v) 非解釈シンボリックシミュレーションを実行して、スケジュール構造RTL及びビヘイビア構造RTL内の対応する信号を識別するステップと、

(v) 遷移条件とパスシグナルの論理積がゼロでない場合に、状態 S_j の新しいコピーを許容パスに追加するステップと、

(v i) S_i から S_j への各出遷移ごとに前記ステップ

(v) を繰り返すステップと、

(v i i) 許容パス内に残る訪れていない状態のみが終状態のインスタンスとなるまで、すべての訪れていない状態について前記ステップ (i i i) ~ (v i) を繰り返すステップと、

を用いて、前記ステップ (i) の制約されないシンボリックシミュレーションを実行することを可能にすることを特徴とする請求項41記載のコンピュータプログラム製品。

【請求項43】 前記コンピュータコードは、前記コンピュータが、各ループごとに、

(i) 各カットが前記ループの各実行の境界における変数値を表すような、スケジュール内のパスの構造RTL回路内の3個のカットを識別するステップと、

(i i) ビヘイビアにおけるパスの構造RTL回路内の対応するカットを識別して、第1と第2のカットの間のサブ回路と、第2と第3のカットの間のサブ回路が同型であることをチェックするステップと、

(i i i) スケジュール及びビヘイビアのRTL回路における対応するカットの各対における変数どうしの間の等価関係を識別するステップと、

(i v) 最後のカットと最後の前のカットとの間の等価関係が同一であるかどうかをチェックするステップと、

(v) 前記ステップ (i v) の関係が同一でなく、かつ、最後のカットにおける等価関係が、最後の前のカットにおける等価関係のサブセットである場合、最後の前のカットにおける等価関係を破棄し、1つ以上のループ実行について2つのRTL回路を展開して、前記ステップ (i i i) から繰り返すステップと、

(v i) 前記ステップ (i v) の関係が同一でなく、かつ、最後のカットにおける等価関係が、最後の前のカットにおける等価関係のサブセットでない場合、最後の前のカットにおける等価関係を、等価関係セットの集合に追加し、1つ以上のループ実行について2つのRTL回路を展開して、前記ステップ (i i i) から繰り返すステップと、

(v i i) 前記ステップ (i v) の関係が同一である場合、最後のカットにおける等価関係を、等価関係セットの集合に追加するステップと、

(v i i i) 等価関係セットの集合内で、他のエントリのスーパーセットであるすべてのエントリを削除するステップと、

(i x) 等価関係セットの最終集合を、不変項の所望の集合として指定するステップと、
を用いて前記ステップ (k) で不変項を抽出することを可能にすることを特徴とする請求項 41 記載のコンピュータプログラム製品。

【発明の詳細な説明】

【0001】

【発明の属する技術分野】 [1. 発明の詳細な説明]

[1. 1 発明の属する技術分野] 本発明はハイレベル合成におけるスケジューリングステップの検証(verification)に関する。本発明の主要な焦点は、スケジューリングとともに実行される可能性が高いすべての代表的な変換を含むスケジューリング検証のための新規技術にある。特に、本発明は、ループと、スケジューリング中に実行されるさまざまなループ変換を扱うことが可能な検証技術を提供する。

【0002】

【従来の技術】 [1. 2 従来の技術] 回路を出荷するまでの時間を短縮する手段として、ハイレベル仕様からの合成が重要であることはよく認識されている。これにより、高速合成が可能になるのに加えて、再使用の観点からもより有利となる。Chrysalis^(R)、Synopsys^(R)及びその他の多くの会社から提供されるツールを用いた組合せ論理の検証は、初期ネットリスト仕様に対して最終論理ネットリストの妥当性の検証を行う必要があるために、ハイレベル・ビヘイビア (動作) 記述から得られるレジスタトランスファレベル (RTL) のネットリストを検証するためのツールも必要となる。本発明は、検証を実行する技術を改善するためのものである。よく知られているように、シミュレーションは、正当性(correctness)を保証しないにも拘わらず時間がかかるために、検証ストラテジとして十分ではあり得ない。そこで、フォーマル検証の方法論が必要となる。

【0003】 初期ビヘイビア仕様から最終RTLを実現するために適用される変換のスコープ (有効範囲) が与えられている場合、入力として単に2つの大幅に異なるレベルでの記述をとるブラックボックス検証システムは、すべての実際的な目的で実現可能なわけではない。幸いに、合成自体は、自動ツールを用いてなされるか手動でなされるかにかかわらず、一般的に、スケジューリング、リソース割当て及びレジスタ代入のような明確に区分された基本的なステップからなる共通の基本フローに従う。検証方法が実際的であるためには、このフローの知識を活用しなければならない。実際、スケジューリ

ングやレジスタ代入のようなステップどうしの間の区分をそのまま保持することは、「検証のための設計」の良いストラテジである。最終設計の品質が多少犠牲になったとしても、合成プロセスははるかに検証容易になる。

【0004】 ハイレベル合成フロー中の個々のステップの検証は、合成プロセス全体を検証するよりは容易であるものの、決して簡単ではない。スケジューリングとは、タイムスタンプを演算(operation)に割り当てる作業である。同期設計では、これは、演算に状態を対応させることによって行われる。さまざまな設計要件を満たすために、演算並べ替え、ループ展開、投機実行 (speculative execution) 等のような変換が、このステップ中に実行されることがある。スケジューリングをチェックしようとする検証ツールにとって最小限の要件は、これらの変換をそのスコープ (有効範囲) に含むことである。

【0005】 本明細書において、シンボリックシミュレーションとは、回路を通して、変数値ではなく、変数を伝搬させる手続きを含意する。「非解釈(uninterpreted)」という用語は、この場合、標準の算術演算のような複雑な演算に遭遇したときに、入力のブール演算の値ではなく、入力リスト及び演算名が転送されることを意味する。

【0006】 1. 2. 1 関連する研究

従来、ハイレベル記述から生成される設計を検証するためのいくつかの技術が提案されている。プログラム及びハードウェアの検証のためのシンボリックシミュレーションに関するかなりの研究活動が70年代及び80年代になされた。代表的なものとして、J. Darringer, "The application of program verification techniques to hardware verification", in Proc. Design Automation Conf., pp. 375-381, June 1979, を参照。しかし、Darringerの研究及びそこから派生した研究は、スケジューリングを検証するという場合に応用を限定している。派生した研究の一部は、

・W. Cory, "Symbolic simulation for functional verification with ADLIB and SDL", in Proc. Design Automation Conf., pp. 82-89, June 1981

・V. Pitchumani and E. Stabler, "A formal method for computer design verification", in Proc. Design Automation Conf., pp. 809-814, June 1982
に見られる。

【0007】 重要な点として、Darringerの研究の主要な制限は、シンボリックシミュレータがチェックを実行するための不変項(invariant)を設けることをユーザに要求していたことである。実際、知られているように、2つのハードウェア記述を比較する際に、不変項は、一方の記述の完全な状態が他方の状態と一致しなければならない対応点 (Darringerの用語では制御点(control point)) である。スケジューリングの場合、シミュレータ

にこの情報を提供するために、ユーザは、例えば、合成ツールによって実行されるループ変換の詳細な知識を有する必要がある。このような要求は困難である。さらに、このような要求は、検証の目的に部分的に反することになる。また、ユーザが対応点を提供する場合、完全性の問題は未解決のままとなる。制御点どうしの間の中間信号間の対応を検出し、それを利用して、制御点における同型(isomorphism)のためにチェックすべき式を単純化する追加能力を有する同じ基本的なアルゴリズムが、C.-T. Chen and A. Parker, "A hybrid numeric/symbolic program for checking functional and timing compatibility of synthesized design", in Proc. The International Symposium on High Level Synthesis, pp. 112-117, May 1994, で提案された。

【0008】他のいくつかの関連する文献についてもここで説明する。Minatoは、2つのハードウェア記述どうしの間の等価性を確かめるためのBDD(Binary Decision Diagram: 二分決定ダイアグラム)に基づくアプローチを提案している。S. Minato, "Generation of BDDs from hardware algorithm descriptions", in Proc. Int. Conf. Computer-Aided Design, pp. 644-649, Nov. 1996, を参照。このアプローチでは、すべての条件分岐は、追加変数の使用により直線的なコードに変換される。さらに、ループは、すべての変数に対するBDDが追加展開で変化しなくなるまで各ループを展開することによって処理される。この方法は、算術関数を表現する際のBDDの制限と、ループ終了条件が満たされるまでループを明示的に展開する必要があることによる欠点がある。Gong et al. は、ハイレベル合成におけるさまざまなステップをチェックするための規則スイートのセットを提案した。J. Gong, C. T. Chen, and K. Kucukakar, "Multi-dimensional rule checking for high-level design verification", in Proc. Int. High-level Design Validation & Test Wkshp., Nov. 1997, を参照。しかし、彼らの等価性チェッカは、構造同型をチェックすることに制限されていた。Bergamaschi and Rajeの貢献は、2つの記述における対応する信号が相異なる時点で観測されなければならないときにどのようにすれば等価性チェックを実行することができるかを示したことである。R. A. Bergamaschi and S. Raje, "Observable timewindows: Verifying high-level synthesis results", IEEE Design & Test of Computers, vol. 8, pp. 40-50, Apr. 1997, を参照。

【0009】最近では、検証において算術及び制御算術相互作用をモデル化するためのいくつかの技術が提案されている。

・K. T. Cheng and A. S. Krishnakumar, "Automatic functional test generation using the extended finite state machine model", in Proc. Design Automation Conf., June 1993

・F. Fallar, S. Devadas, and K. Keutzer, "Functional vector generation for HDL models using linear programming and 3-satisfiability", in Proc. Design Automation Conf., June 1998

・J. Kukula, T. Shiple, and A. Aziz, "Implicit state enumeration for FSMs with datapaths", in Proc. Formal Methods in Computer Aided Design, Nov. 1998 を参照。これらの技術は強力であり、ハイレベル合成から生成される設計の検証におけるモデルチェック技術や定理証明とともに、将来の応用の可能性がある。

・J. R. Burch, E. M. Clarke, D. E. Long, K. L. McMillan, and D. L. Dill, "Symbolic model checking for sequential circuit verification", IEEE Transactions on Computer-Aided Design, vol. 13, Apr. 1994

・R. K. Brayton et al., "VIS: A system for verification and synthesis", in Proc. Int. Conf. Computer-Aided Verification, July 1996

・S. Owre, J. M. Rushby, and N. Shankar, "PVS: A prototype verification system", in 11th International Conference on Automated Deduction (D. Kapur, ed.), vol. 607 of Lecture Notes in Artificial Intelligence, Springer Verlag, 1992

【0010】ここ数年、非解釈関数によるシンボリックシミュレーションに基づく等価性チェックのための基本的アルゴリズムの効率の改善について、いくつかの論文が発表されている。

・R. Shostak, "An algorithm for reasoning about equality", Communications of the ACM, vol. 21, no. 7, pp. 583-585, 1978

・R. Jones, D. Dill, and J. Burch, "Efficient validity checking for processor validation", in Proc. Int. Conf. Computer-Aided Design, pp. 2-6, Nov. 1995

・A. Goel, K. Sajid, H. Thou, A. Aziz, and V. Singhal, "BDD based procedures for a theory of equality with uninterpreted functions", in Proc. Int. Conf. Computer-Aided Verification, pp. 244-255, July 1998

を参照。本発明で用いられるシンボリックシミュレーションアルゴリズムは、従来技術といくつかの共通点を有する。その決定手続きは、算術演算とともに、ブール演算を含む。

・C. Barrett, D. Dill, and J. Levitt, "Validity checking for combinations of theories with equality", in Proc. Formal Methods in Computer Aided Design, pp. 187-201, Nov. 1996

・A. Goel, K. Sajid, H. Thou, A. Aziz, and V. Singhal, "BDD based procedures for a theory of equality with uninterpreted functions", in Proc. Int. Conf. Computer-Aided Verification, pp. 244-255, July 1998

を参照。また、要求に応じて、決定手続きに追加の代数を加えることも可能である。C. Barrett, D. Dill, and J. Levitt, "Validity checking for combinations of theories with equality", in Proc. Formal Methods in Computer Aided Design, pp.187-201, Nov. 1996、を参照。

【0011】しかしながら、本発明で用いられるシンボリックシミュレーションアルゴリズムは、ブール演算／条件をどのように扱うかにおいて従来技術とは異なる。最も近いのはA. Goel et al.のものであるが、対応する信号を記憶するのに必要なブックキーピングにおいて異なる。A. Goel, K. Sajid, H. Thou, A. Aziz, and V. Singhal, "BDD based procedures for a theory of equality with uninterpreted functions", in Proc. Int. Conf. Computer-Aided Verification, pp.244-255, July 1998、を参照。

【0012】1. 2. 2 従来技術：スケジューリングの有効範囲

スケジューリングは、ハイレベル合成に基づく設計フローにおいて最も重要なステップのうちの1つである。スケジューリングに関する全般的な情報については、

・D. D. Gajski, N. D. Dutt, A. C.-H. Wu, and S. Y.-L. Lin, High-level Synthesis: Introduction to Chip and System Design, Kluwer Academic Publishers, Norwell, MA, 1992

・G. De Micheli, Synthesis and Optimization of Digital Circuits, McGraw-Hill, New York, NY, 1994

を参照。タイミング情報を部分的にしか又は全く含まないビヘイビア記述からはじめて、設計のサイクルごとのビヘイビアは、スケジューリングステップ中に固定される。このサブセクションでは、スケジューリングステップ中に実行されるいくつかの代表的な変換について説明する。それらの変換により検証プロセスの複雑さがどのように増大するかについてもここで説明する。

【0013】[1. 2. 2. 1 クロックサイクル境界の導入] スケジューリングは、回路のビヘイビア記述からスケジュールを導出するプロセスである。単純な形のスケジューリングでは、実行されるのは、ビヘイビア記述にクロックサイクル境界、すなわちカットを入れることからなる変換だけである。HDL記述の場合、これに相当する可能性のあるものの1つは、ビヘイビア記述にいくつかの"wait until clk=1 and clk"イベント文を挿入することである。詳細は、D. Knapp, T. Ly, D. MacMillen, and R. Miller, "Behavioral synthesis methodology for HDL-based specification and validation", in Proc. Design Automation Conf., pp.28-291, June 1995、を参照。あるサイクル境界と次のサイクル境界の間の演算の列は組合せ論理を表すため、一般に、いくつかの条件を満たすために複数のカットを入れる。例えば、すべてのループ（VHDLのprocess文やVerilogの

alwaysブロックのような暗黙のループを含む）を切るためにカットを入れる。知られているように、ビヘイビアとスケジュールとは、サイクルごとに等価ではない。従って、等価性の概念と、等価性をチェックする技術とは、クロックサイクル境界を超えて作用する必要がある。周知のように、出力を計算するのに必要なクロックサイクル数は、異なるスレッドあるいは入力値に対しては異なる可能性がある。さらに、（データ依存性がある可能性もある）ループの存在もまた、検証の複雑さを増大させる。さらに、HDLの複雑なセマンティクス（例えば、信号代入や並行文）のため、サイクル境界を導入するという単純な変換でさえ、設計の機能を変更することがある。これは、次の例によって明確に例示される。

【0014】例1：図1に示すVHDLTM記述を考える。この記述は、whileループと、さまざまな変数及び信号代入文を含むプロセスに関する。いくつかのステップは、算術計算を含む。このプロセスでは、2つの"wait until clk='1' and clk"イベント文に注釈を付けてある。これらのイベント文は、スケジューリング中に追加されたクロックサイクル境界を示す。なお、x#var、y#var、u#var及びdx#varは信号であり、これらの変数に対してなされるすべての代入は信号代入である。VHDLにおける信号代入文のセマンティクスは、信号に代入される値は即時に計算されるが、その代入はある後の時刻まで有効にならないというものである。この時刻は、明示的な時刻が指定されていない場合、デフォルトでは、デルタに等しい。"wait for 0ns;"文の目的は、デルタ遅延を導入し、先行する信号代入文によって生成された新しい値が有効になることを強制することである。

【0015】ビヘイビア記述におけるwhileループ内の信号y#varへの代入を考える（なお、このビヘイビア記述は、"wait until clk='1' and clk"イベント文を含まない）。右辺の式の計算は、信号u#varの古い値を使用する。信号u#varへの先行する代入は実行されているが、ループの最後の"wait for 0ns"文まで有効ではないからである。しかし、スケジュールでは、u#varへの信号代入の後に"wait until clk='1' and clk"イベント文を導入することにより、y#varへの代入が評価される前にu#varの新しい値が有効になることが強制される。上記の差の結果として、スケジュールは、シミュレーション中に誤った値を生成する可能性がある。

【0016】[1. 2. 2. 2 演算の並べ替え] 演算の並べ替えは、ビヘイビア記述に存在する並列性を利用するため、及び、与えられたリソースを最大限に利用するために、スケジューリング中に実行することが可能である。一般に、これは条件演算及び完全なループを並べ替えることを含む。最新のスケジューリング技術では、しばしば、データフロー及びメモリアクセスの依存性を維持しながら、ビヘイビア記述における演算を任意に並べ替える。詳細には、

・D. D. Gajski, N. D. Dutt, A. C.-H. Wu, and S. Y. -L. Lin, High-level Synthesis: Introduction to Chip and System Design, Kluwer Academic Publishers, Norwell, MA, 1992

・G. De Micheli, Synthesis and Optimization of Digital Circuits, McGraw-Hill, New York, NY, 1994

を参照。演算の並べ替え中に導入される可能性のあるエラーには、データ依存性、条件制御依存性、及びメモリハザード（例えば、RAW(read-after-write)、WAW(write-after-write)など）の違反がある。演算の並べ替えにより生成されるこのようなスケジュールの検証は、スケジュールからの制御及びデータのフローの抽出を必要とする。さらに、制御及びデータの依存性が実装において満たされることをチェックすること（例えば、構造同型チェック技術や規則チェック技術を用いて）が含まれる。詳細には、J. Gong, C. T. Chen, and K. Kucukcakar, "Multi-dimensional rule checking for high-level design verification", in Proc. Int. High-level Design Validation & Test Wkshp., Nov. 1997, を参照。

【0017】例2：図2(a)はビヘイビア記述を示し、図2(b)はその対応するスケジュールを示す。この例のビヘイビアは、シーケンシャルプログラムとして指定されているため、各スレッドで実行される演算について完全な順序を定義している。しかし、スケジューラは、保存の必要がある演算どうし間の依存性の解析を自動的に実行するかもしれないし、演算の順序が出力の計算にとって重要ではないときに演算を並べ替えることを選択することがある。このような並べ替えは、リソースやクロック期間の数を最適にするために実行される可能性もある。

【0018】以下の並べ替え操作が、このビヘイビアについてのスケジュールで実行されている。

・ビヘイビアにおいて+2及び*1とマークされた演算の順序は逆転されている。これは、基本ブロック内の演算の局所並べ替えの例である。この並べ替えは正しくない。その理由は、ビヘイビアにおける演算+2と*1の間にデータ依存性があり（+2の出力は*1の入力である）、このデータ依存性は、図2に示すスケジュールでは破れているからである。

【0019】2つのforループの実行順序はスケジュールでは逆転されている。ビヘイビアにおいて最初に現れるループは、スケジュールでは状態S2、S3、及びS4によって実現され、ビヘイビア記述の第2のforループは、スケジュールの状態S1で実現されている。この並べ替えは妥当である。その理由は、2つのループの間にデータ依存性や優先順位制約がないからである（これらのループに共通な唯一の変数であるループカウンタcount1は、各ループの前に0に初期化される）。

【0020】[1. 2. 2. 3 パス/セグメントの複

製] ビヘイビア記述における相異なるパス（すなわち、計算のスレッド）は、しばしば、異なるスケジューリングの機会及び制約を提示する。従って、ビヘイビアにおいて与えられたパスを最大限に最適化するためには、ビヘイビアにおける残りのパスとは別個にパス（またはその部分）をスケジューリングする必要が生じることがある。これにより、スケジュールにおいてパスまたはパスセグメントの複製が生じる。パスに基づくスケジューリング技術は、ビヘイビアにおける単純（無閉路的あるいは非巡回（acyclic））パスに対してこのような最適化を行う。同様に、ループ指向スケジューリング技術は、ビヘイビアにおける非単純パスに対してこのような最適化を自動的に行う。

・R. Camposano, "Path-based scheduling for synthesis", IEEE Trans. Computer-Aided Design, vol.10, p.85-93, Jan. 1991

・S. Bhattacharya, S. Dey, and F. Brglez, "Performance analysis and optimization of schedules for conditional and loop-intensive specifications", in Proc. Design Automation Conf., pp.491-496, June 1994 を参照。

【0021】また、スケジューリング中のパス/セグメントの複製は、検証プロセスの複雑さを増大させる。知られているように、演算と変数の間の関係は是一对一ではなくなる。従って、構造同型をチェックする単純な技術は、スケジュールとビヘイビアの等価性を証明するのに十分ではない。複製により、ビヘイビアに対するスケジュールにおける演算の数が増大するが、ビヘイビア、あるいは、そのビヘイビア内の与えられたパスあるいはスレッドに沿って実行される演算のセットは同一である。このように、従来の検証ストラテジは、ビヘイビア及びスケジュールにおけるパスを列挙することである。さらに、対応するパスのそれぞれの対ごとに、このようなストラテジは、ビヘイビア及びスケジュールにおいて実行される演算のセットが同型のデータフローグラフを形成することを検証する。さらに詳細には、C.-T. Chen and A. Parker, "A hybrid numeric/symbolic program for checking functional and timing compatibility of synthesized designs", in Proc. The International Symposium on High-Level Synthesis, pp.112-117, May 1994, を参照。

【0022】[1. 2. 2. 4 ループ変換] ループは、しばしば、ビヘイビア記述においてパフォーマンスあるいはパワーに関するクリティカルな部分を構成する。データ独立ループ（実行回数が事前に既知であり、入力値とは独立なループ）、及び、データ依存ループ（実行回数が静的に既知ではなく、入力データに依存するループ）を積極的に最適化するさまざまなスケジューリング技術が提案されている。これらの技術には以下の

ものがある。

【0023】・ループ展開。ループ展開の1つの意味は、ビヘイビアにおけるループをループ本体(loop body)のいくつかのコピーに変換した後、そのループのコピーをすることである。第2の意味は、スケジュールにおけるループの1回の実行が、ビヘイビアにおけるループの複数回の実行に対応することである。2種類のループ展開変換を図3(b)及び図3(c)に例示する。

【0024】・ループ回転。これにより、スケジュールにおけるループの境界は、ビヘイビアにおける対応するループの境界に対してずれる。ループ回転を図3(d)に例示する。

【0025】・ループパイプライン化。これは、ループ折畳み(loop folding)あるいはループ巻付け(loop winding)ともいい、ループ本体の複数回の実行を並行して実行するものである。これには、正当性を保証するためにプロログ及びエピログを作成することも必要になることがある。さらに詳細には、R. Potasman, J. Lis, A. Nicolau, and D. Gajski, "Percolation based synthesis", in Proc. Design Automation Conf., pp.444-449, June 1990、を参照。ループパイプライン化を図3(e)に例示する。

【0026】ビヘイビアにおけるループの存在と、スケジューリング中のループ最適化の適用は、検証を非常に複雑にする。特に、ビヘイビア及びスケジュールにおけるスレッドあるいはパスの列挙は、ループの相異なる実行カウントを考慮する必要がある。さらに、ループが実行される回数はデータ依存であることがあり、静的に限定することが困難である。さらに、このような限定が可能である場合、あるいは、ループ実行回数が一定で既知である場合であっても、ビヘイビア及びスケジュールにおける異なるパスの個数により、すべてのこのようなパスの列挙は至難となる。さらに、回転やパイプライン化のようなループ最適化は、スケジュールとビヘイビアにおけるループの境界どうしの間の対応を破壊する。本発明の重要な特徴は、スケジュールにおけるすべての非単純パスの列挙を避ける、ループ不変項の自動抽出にある。

【0027】[1. 2. 2. 5 投機実行] 投機実行では、ビヘイビア記述の一部が、その部分を実行することが必要であるとわかる前に、実行される。投機実行は、ハイレベル合成のスケジューリングステップに統合されると、大幅なパフォーマンス改善が得られる。しかし、投機実行によって、検証は更に複雑になる。重要な点であるが、ビヘイビアでの制御依存性は、投機実行を含むスケジュールでは満たされない。さらに詳細には、

・I. Radivojevic and F. Brewer, "Ensemble representation and techniques for exact control-dependent scheduling", in Proc. High-level Synthesis Workshop, pp. 60-65, 1994

・O. Lakshminarayana, A. Raghunathan, and N. K. Jha, "Incorporating speculative execution into scheduling for control-flow intensive behaviors", in Proc. Design Automation Conf., pp.108-113, June 1998を参照。

【0028】スケジューラは、投機実行される演算の結果を格納するためにスケジュールに追加一時変数を導入するのが一般的である。また、スケジューラは、それらの一時変数が依存する投機条件が評価された後にそれらの一時変数を解決するための追加コード(代入文)を生成する。構造同型に基づく検証技術は、このような変換を検証することができない。これについては、

・J. Gong, C. T. Chen, and K. Kucukcakar, "Multi-dimensional rule checking for high-level design verification", in Proc. Int. High-level Design Validation & Test Wkshp., Nov. 1997

・C.-T. Chen and A. Parker, "A hybrid numeric/symbolic program for checking functional and timing compatibility of synthesized design", in Proc. The International Symposium on High Level Synthesis, pp. 112-117, May 1994

に説明されている。

【0029】

【発明が解決しようとする課題】 [2. 発明の概要] 本発明は、新規な非解釈シンボリックシミュレーション手続きに関する。本発明の技術は、ビヘイビア仕様及びスケジューリングされたRTLが与えられた場合に、2つの記述の出力が相互に無条件に対応するかどうかを判定する。

【0030】スケジューリングされたRTLとビヘイビア記述の間の、条件付きの可能性がある入力対応のリストからはじめて、本発明の技術は、2つの記述における信号の間の条件付き信号対応を出力へ向かって伝搬させる。2つの演算の出力は、その演算型が同一であり、かつ、ある条件下でその演算への入力が相互に対応する場合に、相互に対応する。その場合、出力が対応するための条件は、入力に対応するための条件の論理積となる。

【0031】算術演算とは異なり、ブール演算は完全に解釈される。これにより、条件を超えて演算を移動させるような変換の正当性のチェックが可能となる。このような変換は、スケジューリングにおいて一般的である。

【0032】スケジューリングを検証する作業は、ビヘイビア記述におけるループと、スケジューリング中のループ変換との存在によって、非常に複雑になる。本発明の重要な特徴は、ループと、スケジューリングにおけるループ変換とが存在する場合に、等価性チェックによって、スケジュールとビヘイビアにおける信号の間の対応形式で、不変項の効率的な抽出を行うことである。本発明の技術は、ほとんどの設計における状態空間爆発は、制御状態よりもデータパスレジスタによって引き起こさ

れるという観測に、部分的に基づいている。スケジューリングにおける代表的な変換とみなされるものに基づいて、本発明の技術は、スケジューリングによって生成されるほとんどの設計を検証することが可能である。本発明の技術は、扱うことができないループ最適化に遭遇した場合に、誤った否定（フォールスネガティブ）を報告するという点で、悲観的である。本発明の技術の詳細については、その応用の具体例とともに、セクション4で説明する。

【0033】シンボリックシミュレーションアルゴリズムは、本発明の重要な構成要素であるが、本発明の主要な貢献ではない。本発明の主要な貢献は、ループを扱うことが可能な、無閉路グラフに対する基本的なシンボリックシミュレーションアルゴリズムの改善にある。

【0034】従来の方法における問題点を解決するために、本発明の目的は、スケジュールと、そのビヘイビア記述との等価性を証明する改善された方法を提供することである。本発明は、いかなるスケジュールにも制限されず、従来の技術の項で説明したいかなる最適化がなされたスケジュールでも使用可能である。なお、従来の技術の項で説明した最適化は単なる例示であり、本発明は、他の最適化技術を適用したスケジュールにも適用可能である。

【0035】ビヘイビアは、従来の任意の形式で指定することができる。これには、制御フローグラフ、データフローグラフあるいは制御／データフローグラフ（CDFG: control/data flow graph）及びビヘイビア

（超）状態マシンが含まれるが、これらには限定されない。ビヘイビア合成についての詳細は、D. Knapp, T. Ly, D. MacMillen, and R. Miller, "Behavioral synthesis methodology for HDL-based specification and validation", in Proc. Design Automation Conf., pp.28-291, June 1995、を参照。

【0036】本発明は、ビヘイビア及びスケジュールにおけるプライマリ入力変数の間の対応が与えられていること、及び、出力変数間の対応と、出力変数が同一の値を有すると期待される時刻とが明確に指定されていることを仮定する。本発明は、複数のループ、ネストしたループ、及びデータ依存ループを含むビヘイビア及びスケジュールを処理する。

【0037】本発明の検証手続きの正確さ及び完全性を保証するために設計及び合成のフローが満たすことが必要とされる仮定は以下の通りである。

【0038】・ビヘイビア記述における演算は、スケジューリングプロセス中にアトミックエンティティとして扱われるもの（例えば、算術及び比較演算）と、分解または変換される可能性のあるもの（例えば、ブール演算）とに分けることができる。例えば、ワードあるいはビットベクタ演算（例えば加算）は、スケジューリングプロセス中には、そのゲートレベル実装に分解されない

ことがある。アトミック演算と非アトミック演算に演算を分けることは任意性を伴うことがあるが、検証手続きに与えられることが必要である。この情報は、本発明の検証技術の主要な構成要素である非解釈シンボリックシミュレーション手続きにより、どの演算を解釈しどの演算を非解釈のまま残すべきかを決定するために使用される。

【0039】・スケジューリングプロセスは、アトミック演算の解釈から導き出される知識を使用しない。例えば、算術及び比較演算がアトミックであると宣言される場合、スケジューリングは、スケジュールを最適化するために、これらの演算の機能についての知識を使用しない。比較演算は、分岐及びループ終了条件を決定するために使用されるものを含む。

【0040】・ビヘイビアにおける各ループごとに、スケジュールには少なくとも1つの対応するループがあり、スケジュールにおけるループの1回の実行は、ビヘイビアにおけるループの1回以上の実行に対応する。この性質を満たさないスケジュールは、検証手続きによってエラーありとしてフラグが立てられる。なお、この仮定は、ループ本体あるいは境界がビヘイビアとスケジュールとで同一であることを要求するものではない。むしろ、これは、ループ展開がビヘイビアからスケジュールへと実行されているだけであり、その逆ではないことを意味する。

【0041】上記の仮定はそれほど制限的ではない。その理由は、これらの仮定は、リストスケジューリング、強制的スケジューリング(force-directed scheduling)、パスに基づくスケジューリング、ループ指向スケジューリング(loop-directed scheduling)などのような周知のスケジューリングアルゴリズムを含む最も実際的なスケジューリング技術によって満たされるからである。これについては、

・D. D. Gajski, N. D. Dutt, A. C.-H. Wu, and S. Y. -L. Lin, High-level Synthesis: Introduction to Chip and System Design, Kluwer Academic Publishers, Norwell, MA, 1992

・G. De Micheli, Synthesis and Optimization of Digital Circuits, McGraw-Hill, New York, NY, 1994

40 に示されている。

【0042】本明細書では、代表的なスケジューリング技術という用語は、上記の仮定を満たすスケジューリングのアルゴリズムあるいはツールを表すために使用する。

【0043】ループについて正当性をチェックする場合、本発明のアプローチはループ不変項を使用するものである。しかし、ループ停止の問題、すなわち、ループ本体の後のコードが実際に実行されるかどうかには特に対処しない。ある意味で、本発明では、すべての $n \geq 0$ について、 n 回の反復後の停止を考え、すべての場合に

等価性をチェックする。本発明のアプローチのこの特徴は強調しなければならない。すなわち、ループ本体のすべての反復回数に対する等価性がチェックされる。なお、算術演算を扱うために非解釈関数を使用するため、解釈された値（これがスケジューラによって利用されたかどうかにかかわらず）に依存する停止条件を考慮することはこのフレームワークでは不可能である。例えば、ループが6回実行される場合に限りエラーが生じるが、終了条件のために、ループは2回より多くは決して実行されないとする。この場合、本発明の手続きは、フォールスネガティブを報告することになる。その理由は、本発明は、2回の実行後の停止のみならず、 $n=6$ を含むすべての回数 n の後の停止を考慮するからである。ループ反復回数が一定の上限を有するような場合を早期停止 (early termination) という。

【0044】

【課題を解決するための手段】本発明の目的を達成するため、回路のスケジューリングの正当性をチェックする方法が提供される。回路に対するスケジューリングは、ビヘイビア記述から得られる。この方法は、ループが回路内にあるときに非巡回スレッドの十分なセットを決定するためにループ不変項を抽出するステップと、ループ不変項を抽出するためにシンボリックシミュレーションを実行するステップと、非巡回スレッドの等価性を証明するステップとを有する。

【0045】好ましくは、ビヘイビア記述は、サイクル境界の導入によって変換される。

【0046】好ましくは、ビヘイビア記述は、演算並べ替えによって変換される。

【0047】好ましくは、ビヘイビア記述は、ループの展開、巻付け、折畳み及びパイプライン化によって変換される。

【0048】好ましくは、ビヘイビア記述は、演算の投機実行によって変換される。

【0049】本発明のもう1つの特徴によれば、回路のビヘイビア記述に対して回路のスケジューリングを検証する方法が提供される。この方法は、前記スケジューリングから、ループを含む可能性のある実行のスケジューリングスレッドを選択するステップと、前記ビヘイビア記述から対応するビヘイビアスレッドを識別するステップと、スケジューリングスレッドとビヘイビアスレッドの無条件等価性を証明するステップと、実行のすべてのスレッドについて繰り返すステップとを有する。

【0050】好ましくは、スケジューリングは、スケジューリング状態遷移グラフとして指定される。

【0051】好ましくは、ビヘイビアは、ビヘイビア状態遷移グラフとして指定される。

【0052】好ましくは、前記証明するステップは、前記スケジューリングスレッドをスケジューリング構造グラフに変換するとともに前記ビヘイビアスレッドをビヘイビア構

造グラフに変換するステップと、前記スケジューリング構造グラフと前記ビヘイビア構造グラフの等価性をチェックするステップとを有する。

【0053】本発明のもう1つの特徴によれば、回路のビヘイビア記述に対して回路のスケジューリングを検証する方法が提供される。この方法は、スケジューリングをスケジューリング状態遷移グラフとして指定するステップと、回路のビヘイビアをビヘイビア状態遷移グラフとして表現するステップと、前記スケジューリング状態遷移グラフから、実行のスケジューリングスレッドを選択するステップと、前記ビヘイビア状態遷移グラフから、対応するビヘイビアスレッドを識別するステップと、前記スケジューリングスレッドをスケジューリング構造グラフに変換するとともに前記ビヘイビアスレッドをビヘイビア構造グラフに変換するステップと、前記スケジューリング構造グラフと前記ビヘイビア構造グラフの等価性をチェックするステップと、実行のすべてのスレッドについて繰り返すステップとを有する。

【0054】好ましくは、等価性チェックは、前記ビヘイビア状態遷移グラフ内の各ノードが該ノードの推移ファンイン内のすべてのノードの後にのみ現れるように、前記ビヘイビア構造グラフ内のすべてのノードを含む順序セット $arr1$ を作成するステップと、前記ビヘイビア構造グラフ内の各ノードが該ノードの推移ファンイン内のすべてのノードの後にのみ現れるように、前記スケジューリング構造グラフ内のすべてのノードを含む順序セット $arr2$ を作成するステップと、 $arr1$ をたどり、ビヘイビア構造グラフ内の基底変数を識別するステップと、ビヘイビア構造グラフ内の非基底変数を基底変数で表すステップと、スケジューリング構造グラフ内の入力ノードに対する等価性リストを構成するステップと、 $arr2$ をたどり、 $arr2$ 内の各ノードを処理して、スケジューリング構造グラフの入力からスケジューリング構造グラフの出力へ等価性リストを伝搬させるステップと、各等価性リスト内のエントリは対 (u, c) であり、 u はビヘイビア構造グラフ内の信号の識別子であり、 c は等価性の条件を表す二分決定ダイアグラムであるとして、ビヘイビア構造グラフ内の対応する出力ノードで等価性が確定したかどうか、及び、対応する条件 c が $arr2$ 内のブライマリ出力ノードに対するトートロジーであるかどうかをチェックするステップと、 $arr2$ 内のすべての出力ノードについて繰り返すステップと、すべての出力ノードが等価であることがわかった場合に等価性を見つけたとするステップとを有するプロセスによって行われる。

【0055】本発明のもう1つの特徴によれば、回路のスケジューリングと該回路のビヘイビアとの間の等価性を検証する方法が提供される。前記スケジューリング及び前記ビヘイビアは、実行の巡回スレッドを有する可能性がある。前記方法は、スケジューリングをスケジューリング状態遷移

グラフとして表現するステップと、ビヘイビアをビヘイビア状態遷移グラフとして表現するステップと、前記スケジュール状態遷移グラフ内の強連結成分を識別するステップと、各強連結成分内の終了ノードを識別するステップと、前記スケジュール状態遷移グラフをつづして、前記強連結成分を通らないサブパスを併合するステップと、以前に選択されていないパスを選択するステップと、選択されたパスに対する構造RTL回路を取得するステップと、選択されたパスを列挙するのに必要なすべての状態遷移決定をカプセル化するパスシグナルを生成するための回路を構造RTL回路に追加するステップと、パスシグナルを用いて、制約されたシンボリックシミュレーションを実行してビヘイビア状態遷移グラフ内の対応するパスを識別し、該パスに対する構造RTL回路を取得するステップと、選択されたパスにおいて、以前に選択されていない強連結成分を選択するステップと、選択されたパス内の選択された強連結成分に対する不変項を、対応セットのリストとして抽出するステップと、対応セットのリストから1つの対応セットを選択するステップと、選択された対応セットが、前のシンボリックシミュレーションの強連結成分カットにおいて得られる変数対応より小さい場合に、シンボリックシミュレーションを再実行するステップと、対応セットのリスト内の各対応セットについて以上のステップを繰り返すステップと、出力等価性条件が、パス条件以外の条件付きであるかどうかをテストするステップと、前記出力等価性が条件付きである場合に非等価性を報告してこの方法を終了するステップと、選択されたパス内のすべての強連結成分について以上のステップを繰り返すステップと、終了点が高々3度現れるようにルートからシンクへのすべてのパスについて以上のステップを繰り返すステップとを有する。

【0056】好ましくは、制約されないシンボリックシミュレーションが、ビヘイビア状態遷移グラフの始状態を許容パスリストに割り当てるステップと、許容パスリスト内で以前に訪れていない状態を選択するステップと、ビヘイビア構造RTLを生成するステップと、非解釈シンボリックシミュレーションを実行して、スケジュール構造RTL及びビヘイビア構造RTL内の対応する信号を識別するステップと、遷移条件とパスシグナルの論理積がゼロでない場合に、状態 S_j の新しいコピーを許容パスに追加するステップと、 S_i から S_j への各出遷移ごとに前記追加するステップを繰り返すステップと、許容パス内に残る訪れていない状態のみが終状態のインスタンスとなるまで、すべての訪れていない状態について繰り返すステップとを有するプロセスを用いて実行される。

【0057】好ましくは、不変項は、各ループごとに、各カットが前記ループの各実行の境界における変数値を表すような、スケジュール内のパスの構造RTL回路内

の3個のカットを識別するステップと、ビヘイビアにおけるパスの構造RTL回路内の対応するカットを識別して、第1と第2のカットの間のサブ回路と、第2と第3のカットの間のサブ回路が同型であることをチェックするステップと、スケジュール及びビヘイビアのRTL回路における対応するカットの各対における変数どうしの間の等価関係を識別するステップと、最後のカットと最後の前のカットとの間の等価関係が同一であるかどうかをチェックするステップと、前記関係が同一でなく、かつ、最後のカットにおける等価関係が、最後の前のカットにおける等価関係のサブセットである場合、最後の前のカットにおける等価関係を破棄し、1つ以上のループ実行について2つのRTL回路を展開して、繰り返すステップと、前記関係が同一でなく、かつ、最後のカットにおける等価関係が、最後の前のカットにおける等価関係のサブセットでない場合、最後の前のカットにおける等価関係を、等価関係セットの集合に追加し、1つ以上のループ実行について2つのRTL回路を展開して、繰り返すステップと、前記関係が同一である場合、最後のカットにおける等価関係を、等価関係セットの集合に追加するステップと、等価関係セットの集合内で、他のエントリのスーパーセットであるすべてのエントリを削除するステップと、等価関係セットの最終集合を、不変項の所望の集合として指定するステップとを有するプロセスを用いて、ループから抽出される。

【0058】本発明のもう1つの特徴によれば、回路のスケジューリングの正当性をチェックするシステムが提供される。回路に対するスケジュールは、ビヘイビア記述から得られる。このシステムは、ループが存在するときに非巡回スレッドの十分なセットを決定するループ不変項抽出器と、前記ループ不変項を抽出するシンボリックシミュレータと、非巡回スレッドの等価性を証明する等価性証明器とを有する。

【0059】好ましくは、前記ビヘイビア記述は、サイクル境界の導入によって変換される。

【0060】好ましくは、前記ビヘイビア記述は、演算並べ替えによって変換される。

【0061】好ましくは、前記ビヘイビア記述は、ループの展開、巻付け、折畳み及びパイプライン化によって変換される。

【0062】好ましくは、前記ビヘイビア記述は、演算の投機実行によって変換される。

【0063】本発明のもう1つの特徴によれば、回路のビヘイビア記述に対して回路のスケジュールを検証するシステムが提供される。このシステムは、スケジュールをスケジュール状態遷移グラフとして指定するスケジュール状態遷移グラフジェネレータと、回路のビヘイビアをビヘイビア状態遷移グラフとして指定するビヘイビア状態遷移グラフジェネレータと、前記スケジュール状態遷移グラフから、実行のスケジュールスレッドを選択す

るスケジュールスレッドセクタと、前記ビヘイビア状態遷移グラフから、対応するビヘイビアスレッドを選択するビヘイビアスレッドセクタと、前記スケジュールスレッドをスケジュール構造グラフに変換するとともに前記ビヘイビアスレッドをビヘイビア構造グラフに変換するコンバータと、前記スケジュール構造グラフと前記ビヘイビア構造グラフの等価性をチェックする等価性チェッカとを有する。

【0064】本発明のもう1つの特徴によれば、回路のスケジューリングの正当性をチェックするための、プロセッサ及びメモリを有するコンピュータシステムが提供される。回路に対するスケジュールは、ビヘイビア記述から得られる。前記メモリは、前記コンピュータシステムが前記チェックを実行することを可能にする命令を含み、該命令は、ループが存在するときに非巡回スレッドの十分なセットを決定するためにループ不変項を抽出する命令と、ループ不変項を抽出するためのシンボリックシミュレーションの命令と、非巡回スレッドの等価性を証明する命令とを含む。

【0065】好ましくは、前記ビヘイビア記述は、サイクル境界の導入によって変換される。

【0066】好ましくは、前記ビヘイビア記述は、演算並べ替えによって変換される。

【0067】好ましくは、前記ビヘイビア記述は、ループの展開、巻付け、折畳み及びパイプライン化によって変換される。

【0068】好ましくは、前記ビヘイビア記述は、演算の投機実行によって変換される。

【0069】本発明のもう1つの特徴によれば、回路のビヘイビア記述に対して回路のスケジュールを検証するための、プロセッサ及びメモリを有するコンピュータシステムが提供される。前記メモリは、前記コンピュータシステムが前記検証を実行することを可能にする命令を含み、該命令は、スケジュールをスケジュール状態遷移グラフとして指定する命令と、回路のビヘイビアをビヘイビア状態遷移グラフとして表現する命令と、前記スケジュール状態遷移グラフから、実行のスケジュールスレッドを選択する命令と、前記ビヘイビア状態遷移グラフから、対応するビヘイビアスレッドを選択する命令と、前記スケジュールスレッドをスケジュール構造グラフに変換するとともに前記ビヘイビアスレッドをビヘイビア構造グラフに変換する命令と、前記スケジュール構造グラフと前記ビヘイビア構造グラフの等価性をチェックする命令と、実行のすべてのスレッドについて繰り返す命令とを含む。

【0070】本発明のもう1つの特徴によれば、回路のビヘイビア記述に対して回路のスケジュールを検証するための、プロセッサ及びメモリを有するコンピュータシステムが提供される。前記メモリは、前記コンピュータシステムが、スケジュールをスケジュール状態遷移グラフとして表現する

ステップと、回路のビヘイビアをビヘイビア状態遷移グラフとして表現するステップと、前記スケジュール状態遷移グラフから、実行のスケジュールスレッドを選択するステップと、前記ビヘイビア状態遷移グラフから、対応するビヘイビアスレッドを識別するステップと、前記スケジュールスレッドをスケジュール構造グラフに変換するとともに前記ビヘイビアスレッドをビヘイビア構造グラフに変換するステップと、前記スケジュール構造グラフと前記ビヘイビア構造グラフの等価性をチェックするステップと、実行のすべてのスレッドについて繰り返すステップとを実行することを可能にする命令を含む。

【0071】好ましくは、前記命令は、前記コンピュータシステムが、前記ビヘイビア状態遷移グラフ内の各ノードが該ノードの推移ファンイン内のすべてのノードの後にのみ現れるように、前記ビヘイビア構造グラフ内のすべてのノードを含む順序セット $arr1$ を作成するステップと、前記ビヘイビア構造グラフ内の各ノードが該ノードの推移ファンイン内のすべてのノードの後にのみ現れるように、前記スケジュール構造グラフ内のすべてのノードを含む順序セット $arr2$ を作成するステップと、 $arr1$ をたどり、ビヘイビア構造グラフ内の基底変数を識別するステップと、ビヘイビア構造グラフ内の非基底変数を基底変数で表すステップと、スケジュール構造グラフ内の入力ノードに対する等価性リストを構成するステップと、 $arr2$ をたどり、 $arr2$ 内の各ノードを処理して、スケジュール構造グラフの入力からスケジュール構造グラフの出力へ等価性リストを伝搬させるステップと、各等価性リスト内のエントリは対 (u, c) であり、 u はビヘイビア構造グラフ内の信号の識別子であり、 c は等価性の条件を表す二分決定ダイアグラムであるとして、ビヘイビア構造グラフ内の対応する出力ノードで等価性が確定したかどうか、及び、対応する条件 c が $arr2$ 内のプライマリ出力ノードに対するトートロジーであるかどうかをチェックするステップと、 $arr2$ 内のすべての出力ノードについて繰り返すステップと、すべての出力ノードが等価であることがわかった場合に等価性を見つけたとするステップとを実行することを可能にする命令をさらに含む。

【0072】本発明のもう1つの特徴によれば、回路のスケジュールと該回路のビヘイビアとの間の等価性を検証するための、プロセッサ及びメモリを有するコンピュータシステムが提供される。前記スケジュール及び前記ビヘイビアは、実行の巡回スレッドを有する可能性がある。前記メモリは、前記コンピュータシステムが、スケジュールをスケジュール状態遷移グラフとして表現するステップと、ビヘイビアをビヘイビア状態遷移グラフとして表現するステップと、前記スケジュール状態遷移グラフ内の強連結成分を識別するステップと、各強連結成分内の終了ノードを識別するステップと、前記スケジュ

ール状態遷移グラフをつぶして、前記強連結成分を通らないサブパスを併合するステップと、以前に選択されていないパスを選択するステップと、選択されたパスに対する構造RTL回路を取得するステップと、選択されたパスを列挙するのに必要なすべての状態遷移決定をカプセル化するパスシグナルを生成するための回路を構造RTL回路に追加するステップと、パスシグナルを用いて、制約されたシンボリックシミュレーションを実行してビヘイビア状態遷移グラフ内の対応するパスを識別するステップと、選択されたパスにおいて、以前に選択されていない強連結成分を選択するステップと、選択されたパス内の選択された強連結成分に対する不変項を、対応セットのリストとして抽出するステップと、対応セットのリストから1つの対応セットを選択するステップと、選択された対応セットが、前のシンボリックシミュレーションの強連結成分カットにおいて得られる変数対応より小さい場合に、シンボリックシミュレーションを再実行するステップと、対応セットのリスト内の各対応セットについて以上のステップを繰り返すステップと、出力等価性条件が、非等価性を報告するパス条件以外の条件付きであるかどうかをテストし、前記出力等価性が条件付きである場合にこの検証を終了するステップと、選択されたパス内のすべての強連結成分について以上のステップを繰り返すステップと、終了点が高々3度現れるようにルートからシンクへのすべてのパスについて以上のステップを繰り返すステップとを用いて前記検証を実行することを可能にする。

【0073】好ましくは、前記命令は、前記コンピュータシステムが、ビヘイビア状態遷移グラフの始状態を許容パスリストに割り当てるステップと、許容パスリスト内で以前に訪れていない状態を選択するステップと、ビヘイビア構造RTLを生成するステップと、非解釈シンボリックシミュレーションを実行して、スケジューリング構造RTL及びビヘイビア構造RTL内の対応する信号を識別するステップと、遷移条件とパスシグナルの論理積がゼロでない場合に、状態 S_j の新しいコピーを許容パスに追加するステップと、 S_i から S_j への各出遷移ごとに前記追加するステップを繰り返すステップと、許容パス内に残る訪れていない状態のみが終状態のインスタンスとなるまで、すべての訪れていない状態について繰り返すステップとを実行することを可能にする命令をさらに含む。

【0074】好ましくは、前記命令は、前記コンピュータシステムが、各ループごとに、各カットが前記ループの各実行の境界における変数値を表すような、スケジューリング内のパスの構造RTL回路内の3個のカットを識別するステップと、ビヘイビアにおけるパスの構造RTL回路内の対応するカットを識別して、第1と第2のカットの間のサブ回路と、第2と第3のカットの間のサブ回路が同型であることをチェックするステップと、スケジ

ュール及びビヘイビアのRTL回路における対応するカットの各対における変数どうしの間の等価関係を識別するステップと、最後のカットと最後の前のカットとの間の等価関係が同一であるかどうかをチェックするステップと、前記関係が同一でなく、かつ、最後のカットにおける等価関係が、最後の前のカットにおける等価関係のサブセットである場合、最後の前のカットにおける等価関係を破棄し、1つ以上のループ実行について2つのRTL回路を展開して、繰り返すステップと、前記関係が同一でなく、かつ、最後のカットにおける等価関係が、最後の前のカットにおける等価関係のサブセットでない場合、最後の前のカットにおける等価関係を、等価関係セットの集合に追加し、1つ以上のループ実行について2つのRTL回路を展開して、繰り返すステップと、前記関係が同一である場合、最後のカットにおける等価関係を、等価関係セットの集合に追加するステップと、等価関係セットの集合内で、他のエントリのスーパーセットであるすべてのエントリを削除するステップと、等価関係セットの最終集合を、不変項の所望の集合として指定するステップとを実行することを可能にする命令をさらに含む。

【0075】本発明のもう1つの特徴によれば、コンピュータが回路のスケジューリングの正当性をチェックすることを可能にするコンピュータコードを含むコンピュータ可読媒体を有するコンピュータプログラム製品が提供される。回路に対するスケジューリングは、ビヘイビア記述から得られる。前記コンピュータコードは、ループが存在するときに非巡回スレッドの十分なセットを決定するためにループ不変項を抽出するコンピュータコードと、ループ不変項を抽出するためのシンボリックシミュレーションのコンピュータコードと、非巡回スレッドの等価性を証明するコンピュータコードとを含む。

【0076】好ましくは、前記ビヘイビア記述は、サイクル境界の導入によって変換される。

【0077】好ましくは、前記ビヘイビア記述は、演算並べ替えによって変換される。

【0078】好ましくは、前記ビヘイビア記述は、ループの展開、巻付け、折畳み及びパイプライン化によって変換される。

【0079】好ましくは、前記ビヘイビア記述は、演算の投機実行によって変換される。

【0080】本発明のもう1つの特徴によれば、コンピュータが回路のビヘイビア記述に対して回路のスケジューリングを検証することを可能にするコンピュータコードを含むコンピュータ可読媒体を有するコンピュータプログラム製品が提供される。前記コンピュータコードは、前記コンピュータが、スケジューリングをスケジューリング状態遷移グラフとして指定することを可能にするスケジューリング状態遷移グラフジェネレータコードと、前記コンピュータが、回路のビヘイビアをビヘイビア状態遷移グラフと

して指定することを可能にするビヘイビア状態遷移グラフジェネレータコードと、前記コンピュータが、前記スケジュール状態遷移グラフから、実行のスケジュールスレッドを選択することを可能にするスケジュールスレッドセクタコードと、前記コンピュータが、前記ビヘイビア状態遷移グラフから、対応するビヘイビアスレッドを選択することを可能にするビヘイビアスレッドセクタコードと、前記コンピュータが、前記スケジュールスレッドをスケジュール構造グラフに変換するとともに前記ビヘイビアスレッドをビヘイビア構造グラフに変換することを可能にするコンバータコードと、前記コンピュータが、前記スケジュール構造グラフと前記ビヘイビア構造グラフの等価性をチェックすることを可能にする等価性チェックコードとを含む。

【0081】本発明のもう1つの特徴によれば、コンピュータが回路のビヘイビア記述に対して回路のスケジュールを検証することを可能にするコンピュータコードを含むコンピュータ可読媒体を有するコンピュータプログラム製品が提供される。前記コンピュータコードは、前記コンピュータが、スケジュールをスケジュール状態遷移グラフとして指定するステップと、回路のビヘイビアをビヘイビア状態遷移グラフとして表現するステップと、前記スケジュール状態遷移グラフから、実行のスケジュールスレッドを選択するステップと、前記ビヘイビア状態遷移グラフから、対応するビヘイビアスレッドを識別するステップと、前記スケジュールスレッドをスケジュール構造グラフに変換するとともに前記ビヘイビアスレッドをビヘイビア構造グラフに変換するステップと、前記スケジュール構造グラフと前記ビヘイビア構造グラフの等価性をチェックするステップと、実行のすべてのスレッドについて繰り返すステップとを実行することを可能にする。

【0082】好ましくは、前記コンピュータコードは、前記コンピュータが、前記ビヘイビア状態遷移グラフ内の各ノードが該ノードの推移ファンイン内のすべてのノードの後にのみ現れるように、前記ビヘイビア構造グラフ内のすべてのノードを含む順序セット $arr1$ を作成するステップと、前記ビヘイビア構造グラフ内の各ノードが該ノードの推移ファンイン内のすべてのノードの後にのみ現れるように、前記スケジュール構造グラフ内のすべてのノードを含む順序セット $arr2$ を作成するステップと、 $arr1$ をたどり、ビヘイビア構造グラフ内の基底変数を識別するステップと、ビヘイビア構造グラフ内の非基底変数を基底変数で表すステップと、スケジュール構造グラフ内の入力ノードに対する等価性リストを構成するステップと、 $arr2$ をたどり、 $arr2$ 内の各ノードを処理して、スケジュール構造グラフの入力からスケジュール構造グラフの出力へ等価性リストを伝搬させるステップと、各等価性リスト内のエントリは対

の識別子であり、 c は等価性の条件を表す二分決定ダイヤグラムであるとして、ビヘイビア構造グラフ内の対応する出力ノードで等価性が確定したかどうか、及び、対応する条件 c が $arr2$ 内のプライマリ出力ノードに対するトートロジーであるかどうかをチェックするステップと、 $arr2$ 内のすべての出力ノードについて繰り返すステップと、すべての出力ノードが等価であることがわかった場合に等価性を見つけたとするステップとを実行することを可能にする。

10 【0083】本発明のもう1つの特徴によれば、コンピュータが回路のスケジュールと該回路のビヘイビアとの間の等価性を検証することを可能にするコンピュータコードを含むコンピュータ可読媒体を有するコンピュータプログラム製品が提供される。前記スケジュール及び前記ビヘイビアは、実行の巡回スレッドを有する可能性がある。前記コンピュータコードは、前記コンピュータが、スケジュールをスケジュール状態遷移グラフとして表現するステップと、ビヘイビアをビヘイビア状態遷移グラフとして表現するステップと、前記スケジュール状態遷移グラフ内の強連結成分を識別するステップと、各強連結成分内の終了ノードを識別するステップと、前記スケジュール状態遷移グラフをつぶして、前記強連結成分を通らないサブパスを併合するステップと、以前に選択されていないパスを選択するステップと、選択されたパスに対する構造RTL回路を取得するステップと、選択されたパスを列挙するのに必要なすべての状態遷移決定をカプセル化するパスシグナルを生成するための回路を構造RTL回路に追加するステップと、パスシグナルを用いて、制約されたシンボリックシミュレーションを実行してビヘイビア状態遷移グラフ内の対応するパスを識別し、該パスに対する構造RTL回路を取得するステップと、選択されたパスにおいて、以前に選択されていない強連結成分を選択するステップと、選択されたパス内の選択された強連結成分に対する不変項を、対応セットのリストとして抽出するステップと、対応セットのリストから1つの対応セットを選択するステップと、選択された対応セットが、前のシンボリックシミュレーションの強連結成分カットにおいて得られる変数対応より小さい場合に、シンボリックシミュレーションを再実行するステップと、対応セットのリスト内の各対応セットについて以上のステップを繰り返すステップと、出力等価性条件が、パス条件以外の条件付きであるかどうかをテストするステップと、前記出力等価性が条件付きである場合に非等価性を報告してこの方法を終了するステップと、選択されたパス内のすべての強連結成分について以上のステップを繰り返すステップと、終了点が高々3度現れるようにルートからシンクへのすべてのパスについて以上のステップを繰り返すステップとを実行することを可能にする。

50 【0084】好ましくは、前記コンピュータコードは、

前記コンピュータが、ビヘイビア状態遷移グラフの始状態を許容パスリストに割り当てるステップと、許容パスリスト内で以前に訪れていない状態を選択するステップと、ビヘイビア構造RTLを生成するステップと、非解釈シンボリックシミュレーションを実行して、スケジュール構造RTL及びビヘイビア構造RTL内の対応する信号を識別するステップと、遷移条件とパスシグナルの論理積がゼロでない場合に、状態 S_j の新しいコピーを許容パスに追加するステップと、 S_i から S_j への各出遷移ごとに前記追加するステップを繰り返すステップと、許容パス内に残る訪れていない状態のみが終状態のインスタンスとなるまで、すべての訪れていない状態について繰り返すステップとを用いて、制約されないシンボリックシミュレーションを実行することを可能にする。

【0085】好ましくは、前記コンピュータコードは、前記コンピュータが、各ループごとに、各カットが前記ループの各実行の境界における変数値を表すような、スケジュール内のパスの構造RTL回路内の3個のカットを識別するステップと、ビヘイビアにおけるパスの構造RTL回路内の対応するカットを識別して、第1と第2のカットの間のサブ回路と、第2と第3のカットの間のサブ回路が同型であることをチェックするステップと、スケジュール及びビヘイビアのRTL回路における対応するカットの各対における変数どうしの間の等価関係を識別するステップと、最後のカットと最後の前のカットとの間の等価関係が同一であるかどうかをチェックするステップと、前記関係が同一でなく、かつ、最後のカットにおける等価関係が、最後の前のカットにおける等価関係のサブセットである場合、最後の前のカットにおける等価関係を破棄し、1つ以上のループ実行について2つのRTL回路を展開して、繰り返すステップと、前記関係が同一でなく、かつ、最後のカットにおける等価関係が、最後の前のカットにおける等価関係のサブセットでない場合、最後の前のカットにおける等価関係を、等価関係セットの集合に追加し、1つ以上のループ実行について2つのRTL回路を展開して、繰り返すステップと、前記関係が同一である場合、最後のカットにおける等価関係を、等価関係セットの集合に追加するステップと、等価関係セットの集合内で、他のエントリのスーパーセットであるすべてのエントリを削除するステップと、等価関係セットの最終集合を、不変項の所望の集合として指定するステップとを用いて不変項を抽出することを可能にする。

【0086】

【発明の実施の形態】〔4. 好ましい実施形態〕

〔4. 1 非巡回の場合の非解釈関数によるシンボリックシミュレーション〕このサブセクション(4. 1)では、有限長の非巡回スレッドを有するスケジュールの場合に、ビヘイビア記述に対してスケジュールを検証する際の、非解釈シンボリックシミュレーションアルゴリズム

ムの好ましい実施例について説明する。このサブセクションで提示されるすべての説明では、スケジュール及びビヘイビアにおける有限長の非巡回スレッドのみを比較する。

【0087】次のサブセクション(4. 2)では、ループを含むスレッドを比較するという一般的な場合を扱う検証手続きの好ましい実施例について説明する。

【0088】4. 1. 1 スケジュールの表現

この好ましい実施例では、スケジュールは、スケジュール状態遷移グラフ(スケジュールSTG: Schedule State Transition Graph)の形で指定される。スケジュールSTGは、拡張有限状態マシン(EFSM: Extended Finite StateMachine)やビヘイビア有限状態マシン(BFSM: Behavioral Finite State Machine)表現によく似ている。EFSMについて詳細には、K. T. Cheng and A.S. Krishnakumar, "Automatic functional test generation using the extended finite state machine model", in Proc. Design Automation Conf., June 1993、を参照。BFSM表現について詳細には、O. Lakshminarayana, A. Raghunathan, and N. K. Jha, "Incorporating speculative execution into scheduling for control-flow intensive behaviors", in Proc. Design Automation Conf., pp.108-113, June 1998、を参照。FSM表現について詳細には、W. Wolf, A. Takach, C. Huang, and R. Mano, "The Princeton University behavioral synthesis system", in Proc. Design Automation Conf., pp.182-187, June 1992、を参照。スケジュールSTGは、機能RTLコードが各状態に埋め込まれた、状態遷移グラフからなる。

【0089】STGの状態 S_i 内に埋め込まれたコードは、 S_i で実行されることが必要なデータバス演算を指定するとともに、 S_i からのそれぞれの出状態遷移に対する遷移条件を計算する。状態遷移グラフの状態内に埋め込まれたコードは、変数V、演算O、及びクロックにより定義することができる。クロックは、変数の値の更新を支配する。

【0090】変数は、 $V = (PI, PO, R, T)$ のように4つのセットに分けられる。PIはプライマリ入力セットであり、POはプライマリ出力のセットであり、Rはレジスタ変数のセットであり、Tは一時変数のセットである。演算は、制御演算のセット、及び、代入演算のセットを含む。制御演算の結果はブール型であり、この結果は、他の演算の実行を制御するために使用される。代入演算は、変数に値を代入し、あるいは、変数の値を変更する。各演算 op_i は、それに関連づけられた対応する条件 c_i を有する。条件 c_i は論理式であり、他の代入及び制御演算の結果を用いて構成されることが可能である。演算 op_i は、 c_i が真の場合に限り実行される。状態遷移は、状態内に埋め込まれたコード内のgoto文によって指示されることも可能である。それぞ

れのこのようなgoto文の実行条件は、対応する状態遷移条件を表す。

【0091】スケジュールは、明確に定義された始状態及び終状態を有すると仮定する。スケジュールの実行は、始状態で開始し、終状態で終了する。なお、複数の可能な終状態がある場合は、スケジュールのすべての終状態から入ってくる弧を有するダミー状態をスケジュールに追加し、このダミー状態のみを終状態と見なすことによって、単純な場合に帰着される。

【0092】4. 1. 2 ビヘイビアの表現

さまざまなハイレベル合成ツールが、制御フローグラフ(CFG: control flow graph)、データフローグラフ(DFG: data flow graph)、制御/データフローグラフ(CDFG)、及びビヘイビア有限状態マシン(BFSM)を含むビヘイビア記述に対するさまざまな表現を使用している。本発明は、スケジュール表現の特定の方法に制限されない。これら及びその他のうちのいずれの表現も、検証手続きのために使用可能である。説明の簡便化及び一貫性のために、好ましい実施例は、ビヘイビア及びスケジュールを表すために同じデータ構造を使用する。

【0093】このため、好ましい実施例では、ビヘイビアはビヘイビア状態遷移グラフ(ビヘイビアSTG)として表現される。ビヘイビアSTGは、ビヘイビアから直接に導出されることを除いては、上記のスケジュールSTGと類似している。ループを含まないビヘイビアの部分、単一の状態にまとめられる。従って、非巡回ビヘイビアは、ただ1つの状態を有するビヘイビアSTGに翻訳することができる。このようにビヘイビア及びスケジュールに対する一貫したデータ構造を有することにより、等価性チェックの問題は、スケジュールSTGとビヘイビアSTGの等価性を証明することに帰着する。

【0094】・ビヘイビアSTG(BSTG)及びスケジュールSTG(SSTG)。

・BSTGとSSTGにおけるプライマリ入力変数どうしの間の対応。

が与えられた場合、目標は、対応する出力変数においてBSTG及びSSTGによって生成される値が等しいことを証明することである。

【0095】前述のように、この好ましい実施例では、焦点は、BSTG及びSSTGにおける実行の個々のスレッドどうしの間の等価性を証明するという制限された問題にある。SSTG(あるいはBSTG)における実行のスレッドとは、始状態に始まり終状態に終わる状態遷移グラフにおける有限長のパスのことである。なお、パスが単純であることは要求されない。すなわち、パスは、状態遷移グラフ内のサイクルを一定有限回通ることも可能である。

【0096】SSTG(あるいはBSTG)における実行のスレッドが与えられると、その中で実行される計算

は、構造グラフに変換される。

【0097】定義1(構造グラフ): 構造グラフとは、有向グラフ $G = (V, A)$ であって、頂点のセット V は演算を実行するハードウェアコンポーネントを表し、辺のセットはコンポーネントの構造連結性を表すものである。頂点 $\in V$ は、型属性を有し、これは以下の値を取りうる。

・IN(プライマリ入力変数と、レジスタ変数の現サイクル値とを表す)

10 ・OUT(プライマリ出力変数と、レジスタ変数の次サイクル値とを表す)

・OP(算術演算及び比較演算を含む、アトミックなワードレベル演算を表す)

・LOGIC(制御またはランダム論理を表す)

・MUX

構造グラフ内の辺にはそのビット幅が標記(annotate)される。

【0098】計算のセットから構造グラフを構成するプロセスは、ハードウェア記述言語(HDL: Hardware Description Language)からハードウェア構造を推論することと類似している。IN及びOUTノードは、プライマリ入出力変数、定数値、及び、レジスタ変数の現サイクル及び次サイクルの値を表すように生成される。OPノードは、ワードレベル計算及び条件演算(例えば、比較演算、case演算など)に関連する代入演算に対応して生成される。単一ビットまたはビットベクタに対するブール演算の使用により、構造グラフ内のLOGICノードが生成される。MUXノードは、相異なる代入文が、相異なる条件下で同じ変数に代入を行うときに構成される。これらの条件に対応するOPまたはLOGICノードの出力は、与えられたクロックサイクルにおいて実行される代入を決定するために、MUXノードへの選択(セレクト)入力として使用される。

【0099】SSTG内の実行のスレッド T と、等価であることを証明することが要求されるBSTG内の対応する実行のスレッド T' とが与えられると、各スレッドに沿って実行される計算はまず構造グラフに変換される。こうして、問題は、2つの構造グラフ $SSGT$ と $BSGT'$ の等価性を証明することに帰着する。

40 【0100】このセクションの残りの部分では、以下の性質を利用した、構造グラフの等価性チェックのためのアルゴリズムの好ましい実施例について説明する。

・ビヘイビア記述からスケジュールを生成するときにOPノードのアトミック性は保存される。

・算術変換(例えば、分配則や、乗算をシフトと加算で置き換えることなど)は実行されないということ。

【0101】定義2(条件付き等価性): $SSGT$ 内の信号 v が $BSGT'$ 内の信号 u_1, u_2, \dots, u_n に条件付き等価であるとは、対応する条件 c_1, c_2, \dots, c_n (条件とは、 $BSGT'$ あるいは $SSGT$ 内の入力変数へ

の値代入の空でないセットを表す)であって、条件 c_k の下で、 $SSGT$ 内の信号 v における値が、 $BSGT'$ 内の信号 u_k における値と等しいことが保証されるような条件 c_1, c_2, \dots, c_n が存在する場合をいう。条件付き等価関係を表すために、記法

【数 1】

$$V \cong \{(u_1, c_1), \dots, (u_n, c_n)\}$$

を用いる。

【0102】BDDは、条件付き等価関係に関連する条件を表すために使用される。一般に、条件自体は、入力変数で表すことも可能であり、また、さまざまな算術及び条件演算の結果を含むことも可能である。しかし、条件は、INノードに加えて、OP及びMUXノードの出力で(これらをまとめて、「基底変数で」という)表現される。実際、BDDは、制御論理に対してのみ構成される。これは、POに送られる次状態論理 $R_{state-next}$ と、MUXノードを通るどのパスがセンシタイズされているかあるいはマルチファンクションFUがどのように設定されているかを決定する論理とを含む。

【0103】 $BSGT'$ と $SSGT$ を比較するアルゴリズムの好ましい実施例の擬似コードを図4に示す。アルゴリズムは、 $SSGT$ と $BSGT'$ のINノードどうしの間の等価関係からはじまる。このアルゴリズムは、POノードに到達するまで $SSGT$ 内の中間信号を通して条件付き等価関係を生成し伝搬させ、 $SSGT$ 及び $BSGT'$ における出力信号どうしの間の無条件等価性をチェックする。

【0104】まず、順序セット $Arr1$ ($Arr2$) を、 $BSGT'$ ($SSGT$) 内のすべてのノードを含むように構成する。後方深さ優先探索走査を用いて、各ノードは、その推移ファンイン(transitive fanin)内のすべてのノードの後にのみ現れるようにされる。次に、 $BSGT'$ 内の基底変数を、PI、OP、及びMUXノードの出力として識別する。次に、 $Arr1$ を通る走査を実行し、基底変数に対応しない出力を有する各ノード(すなわち、各LOGICノード)について、そのノードの出力に対するBDDを、その入力におけるBDDに関して取得する。各 $SSGT$ ノードは、その出力と、 $BSGT'$ 内の信号との間の条件付き等価関係を表す等価性リストに関連づけられる。等価性リスト内のエントリは対 (u, c) である。ただし、 u は $BSGT'$ 信号の識別子であり、 c は、等価性のための条件を表すBDDである。 $BSGT'$ と $SSGT$ の入力どうしの間の対応を用いて、 $SSGT$ 内のINノードに対する等価性リストを生成する。次に、 $Arr2$ を走査し、各ノードを、その入力から出力へ等価性リストを伝搬させるように処理する。OP、LOGIC、及びMUXノードを通して等価性リストを伝搬させる技術については後述する。 $SSGT$ のPOノードに到達すると、

アルゴリズムは、 $BSGT'$ 内の対応するOUTノードで等価性が確定しているか、及び、対応する条件がトートロジーであるかどうかをチェックする。そうでない場合、アルゴリズムは、 $SSGT$ と $BSGT'$ は等価でないと報告する。 $SSGT$ のすべてのOUTノードに対して無条件等価性が得られた場合に限り、アルゴリズムは、 $SSGT$ と $BSGT'$ が等価であると宣言する。

【0105】等価関係は、OPノードを通して以下のように伝搬する。 $SSGT$ 内のOPノード v と、同じ演算を実行する $BSGT'$ 内のOPノード u で、 v の入力が u の対応する入力と条件付き等価関係を有するようなものが存在する。このような場合、 v と u の出力は、対応する入力の等価条件の論理積と等価である。LOGICノードに遭遇した場合、等価性リストをその出力に伝搬させるのではなく、 $BSGT'$ 内の基底変数の関数としてその出力を表すようにBDDを構成する。これを行う理由は、LOGICノードはスケジュールにおいて変換または導入されることがあるため、 $SSGT$ と $BSGT'$ の等価性を証明するためには解釈される必要があるからである。2入力MUXノードの1(0)データ入力からその出力へ等価性リストを伝搬させることは、選択(セレクト)信号に対するBDDを取得し、それ(その補数)と、データ入力の等価性リスト内のすべての条件との論理積をとることによって、行われる。

【0106】[4.2 一般的な場合のスケジュール検証アルゴリズム] このサブセクションでは、一般的な場合のアルゴリズムの好ましい実施例について説明する。このアルゴリズムのタスクは、スケジュール及びビヘイビアの出力間の無条件等価性を確定することである。STGが非巡回(無閉路)であれば、セクション4.1のシンボリックシミュレーションに基づく等価性チェックで十分である。フィードバック(ループ)が存在する場合、等価性チェックアルゴリズムが有用であるためには、ループが完了するまで反復せずに2つの記述の等価性を検証することが必要である。ループを扱うため、アルゴリズムは、ループ不変項を抽出する。不変項は、ループ終了点におけるスケジュールとビヘイビアの間の変数対応である。不変項抽出は、等価性の証明を生成するためにループを完了まで反復することを不要にする自動帰納法に基づく。すべてのループ不変項が抽出されない場合、等価性チェックはフォールスネガティブを返す可能性が高い。等価性チェックアルゴリズムは、スケジュールが前に定義した意味で代表的である場合、すべてのループ不変項を検出し、真の否定及び肯定を返すことを保証する。このアルゴリズムは、誤った肯定を返すことがないという意味で安全である。本発明の検証アルゴリズムについて説明するための例を提示し、その後でその詳細について説明する。

【0107】4.2.1 具体例

アルゴリズムは、入力として、ビヘイビア及びスケジュー

ールの状態遷移グラフ (STG) 表現 (それぞれBSTG及びSSTG) をとる。STGに加えて、プライマリ入力及び出力の対応のリストも、アルゴリズムに入力として提供される。アルゴリズムは、SSTG内の小さいパスセットを列挙することによって動作する。これらのパスは、SSTGとBSTGの間の等価性を証明するための基礎として使用される。

【0108】例3: 図5(a)に、簡約(reduced)SSTG (強連結成分を抽出し無閉路パスをつぶしたもの)の例を示す。このSSTGに対して、次の状態列を列挙

することができる。
{AE, ABCE, ABCDCE, ABCDCDC
E, ...}

なお、パス {ABCDCE, ABCDCDCE, ...} は、ループ本体の異なる回数の実行に対応する。これらのパスのすべてをBSTG上でシミュレートする必要はない。ノード {C} は、ループ終了点に対応する。

{C} が0、1、及び3回現れるパスの数を列挙する。これらは、ループに全く遭遇しないこと、ループ終了条件に遭遇するがループ本体には遭遇しないこと、及び、ループ本体を2回実行すること、にそれぞれ対応する。最初の2つは単純パスであり、明確に列挙すべきである。終了パスが3回現れるパスを列挙する理由は、ループ本体を2回実行することによってループ不変項の生成に対する問題を設定することである。従って、この例で列挙されるパスは {AE, ABCE, ABCDCDC
E} である。

【0109】これらのパスのそれぞれについて、BSTG内の対応するパスをシンボリックシミュレーションにより取得する。次に、アルゴリズムは、SSTG及びBSTGの対応するパスが等価であることを証明する。ループ本体を含むパス {ABCDCE} に対して、アルゴリズムはさらに進み、ループ本体内の演算が任意回数実行された場合に、SSTG及びBSTGの対応するパスどうしの間の等価関係が依然として維持されるかどうかを帰納的に証明する。これを行うため、アルゴリズムは、カット点 {ABCDCE} 及び {ABCDCE} での変数対応を抽出する。この場合、カット点 {ABCDCE} 及び {ABCDCE} における対応のセットは同一のままである。従って、帰納法により、列 {DC} を任意個数だけ {ABCDCE} に接続しても依然として変数対応は維持されるということが出来る。従って、{ABCDCE} と、対応するBSTGパスが等価である場合、ループ本体の任意回の反復に対して、SSTGとBSTGは依然として等価になる。

【0110】次に、ループ終了に対応するカット点での対応する変数のセットが同一のままにならないような、別のシナリオを考える。セットが変わると、誤った結果を避けるために、収束するまで反復する必要がある。

【0111】例4: 図6に示す例は、フォールスポジテ

ィブ (誤った肯定) を避けるために収束するまで反復する必要がある理由を例示する。図6の(a)及び(b)は、それぞれ、回路のビヘイビア及びスケジュールを示す。なお、これらの2つは、スケジュールの状態5における文 $c = d + 2$ のため、対応しない。最初に識別されるループ本体を含むパスは {1, 2, 3, 4, 5, 2, 3, 4, 5, 2, 6} である。図6(b)における状態2は、ループ終了として識別され、状態3、4及び5はループ本体として識別される。ループの1回の実行のシンボリックシミュレーションの後、得られる変数対応は { $a \equiv p$, $b \equiv q$, $d \equiv s$ } であり、2回の実行の後には { $b \equiv q$ } である。なお、ループの後の状態6の文 ($out = b$) をシミュレートするための対応セットとしてこれらのいずれを用いても、bとqが等価であることを見なされていることによりフォールスポジティブを引き起こすことになる。

【0112】3回の実行の後にはじめて、手続きはbとqが対応しないと判定し、スケジュールとビヘイビアは非等価であると見なすことができる。このように、この場合、収束に到達するには、最初のパスのもう1回の反復をシミュレートしなければならない。すなわち、パス {1, 2, 3, 4, 5, 2, 3, 4, 5, 2, 3, 4, 5, 2, 6} もシミュレートする必要がある。

【0113】例5: 最後にもう1つのシナリオを考える必要がある。前の例で、ループ反復後の対応のセットは、収束に到達するまで単調に減少した。しかし、一般に、反復を多く実行するにつれてこのセットが任意に変化するような例が考えられる。なお、実質的な目標は、ループ本体のすべての反復回数について等価性をチェックすることである。従って、収束が得られるまですべての極小対応セットを追跡しなければならない。これらは、他の対応セットのスーパーセットでないセットに対応する。ループ本体に続くコードは、収束後に得られる対応セットに対してシミュレートされるのに加えて、すべてのこのような極小セットに対してシミュレートされる。なお、この追加の対応によりシミュレートしないことによってフォールスポジティブを生じる可能性がある。後述するように、これらの極小対応セットを用いたシンボリックシミュレーションは、等価性をチェックするために必要十分である。

【0114】4. 2. 2 アルゴリズムの詳細

図7は、一般的な場合を扱う本発明の方法の好ましい実施例の擬似コードを示す。このアルゴリズムの第1のタスクは、SSTGの、ループを構成する部分を識別することである。ループ不変項をループ終了点で計算する必要があるからである。ループは、強連結成分 (SCC: strongly connected component) を識別することによって見出される。各SCCは、1個以上の終了ノードを有し、そこからSCCの外へ遷移することが可能である。その後、SCCを通らないサブパスを併合して、以後列

挙する必要のあるノード及びパスの総数を減らすために SSTG をつづす。図 5 (a) に、これらのステップによって SSTG がどのように影響されるかが示されている。これらのステップの結果、状態 C は、状態 C 及び D からなる SCC の終了点として識別される。

【0115】図 7 における疑似コードの第 4 行は、簡約 SSTG 内のパスを列挙するループの開始をマークする。このパスは、BSTG 内の対応するパスに対してチェックされなければならない。パス列挙前に SSTG を簡約することにより、大幅にパスは少なくなる。図 5 (a) の SSTG の場合、最初に列挙される 3 個のパスは、次の状態列からなる。

{AE, ABCE, ABCDCDCE}

これらのパスのそれぞれについて、BSTG 内の対応するパスをシンボリックシミュレーションにより取得する。図 7 の疑似コードの第 5 行は、列挙された SSTG パスに対する RTL 回路 (SSG という) を取得する。第 5 行は、また、SSTG パス内の終了ノードへの各遷移に対応する RTL 回路内のカットを識別する。カットとは、本明細書においては、状態遷移によりある状態から別の状態へ伝搬する変数のセットとして定義される。図 7 の疑似コードの第 6 行は、SSTG パスを列挙するのに必要なすべての状態遷移判定をカプセル化するパスシグナル (Pathsignal) という信号を生成する。SSTG パスに対応する BSTG 内のパスを識別するシンボリックシミュレーションは、図 7 の疑似コードの第 7 行で、手続き `Constrained#symbolic#simulation()` によって、SSTG パスの Pathsignal を用いて実行される。

【0116】図 8 を参照しながら、`Constrained#symbolic#simulation()` の詳細について説明する。BSTG 内のルート状態からはじめて、そのタスクは、Pathsignal と両立する遷移により到達可能な状態を識別することである。到達した各状態で、対応する信号を識別するために非解釈シンボリックシミュレーションを実行する (図 8 の第 5 行)。次に、その状態からの、Pathsignal と両立する出遷移を識別する。このプロセスは、BSTG 内の END 状態に到達するまで続く。

【0117】図 7 の全体アルゴリズムに戻って、次のステップは、列挙されたパス内のループから不変項を抽出することである (図 7 の第 8 ~ 12 行)。このステップは、ループが存在しないときには不要となる。パスに沿って遭遇する各 SCC に対して、図 9 に記載した手続き `return#loop#invariants()` を呼び出す。この手続きは、変数対応セットを `corresp#set#list` として返す。このリストのうち、前のシンボリックシミュレーションの結果として SCC カットで得られた変数対応より小さい各対応セットに対して、図 7 の第 12 行に示すように、SCC に続くパス部分のシンボリックシミュレーションを再実行しなければならない。図 7 の第 13 行及び第 14 行は、得られた出力等価性が、パス条件以外の条件付きで

あるかどうかをテストする。そのように条件付きである場合、STG は等価でないと見なされる。出力が、列挙されたすべてのパスに対して無条件に等価である場合、STG は等価であると見なされる。

【0118】図 9 を参照すると、`return#loop#invariants()` への入力は、列挙されたパスにおいて SCC の終了ノードに遭遇する 3 つのインスタンスに対応する SSG 内の 3 個のカット (`ssg#cuts 1, 2, and 3`) である。この手続きは、ループに続くパス部分のシンボリックシミュレーションが実行されなければならないような対応セットのリストを返す。図 9 の手続きの第 1 行は、`ssg#cut` に対応する BSG における変数 (`bsg#cuts` という) を取得する。第 2 行及び第 3 行は、BSG において導出されたカットどうしの間の 2 つの回路を取得し、カット 2 とカット 3 の間の回路が、カット 1 とカット 2 の間の回路の単なる別のインスタンス (コピー) であるかどうかを確かめる。そうでない場合、対応がないと見なされ、適当な `corresp#set#list` が返される。カット間の回路が同型である場合、非自明な対応セットが存在する可能性がある。

【0119】このセットを見つけるため、手続きは、最初にカット 2 からはじめて、一度に 1 回のループ実行 (すなわち、2 つのカットの間の部分) だけ進むように、SSG と BSG をシンボリックシミュレートする。各シミュレーションの最後に得られる変数対応 (`corresp#setn+1`) を、そのシミュレーションの最初における対応 (`corresp#setn`) と比較する。これらのセットが同一である場合、これは要求された固定点であり、手続きは、この点で見出した対応リストを `corresp#set#list` の一部として返す。そうでない場合、`corresp#setn+1` を初期変数対応として、1 ループ実行のシンボリックシミュレーションを繰り返す。この手続きはまた、1 回の実行のシンボリックシミュレーションにおける対応セットの使用により新たな変数対応が生成されたときには、この対応セットを `corresp#set#list` に追加する。これは、例 4 及び例 5 において議論したようなフォールスポジティブを避けるためである。

【0120】すべての変数対応を識別するのに要する反復回数は、可能な変数対応の総数によって制限される。最悪の場合、これは、SSG と BSG 内のループ本体の変数の個数の積になりうる。実際には、変数対応の数は変数の個数に関して線形であり、ほとんどの対応は、最初の実行自体の後に見出される。従って、この手続きは、有限回の (実際には、非常に少ない) ループ反復でループ不変項を得る手段である。

【0121】4. 2. 3 アルゴリズムの正当性及び有効範囲

フォールスポジティブは、2 つの表現が実際には等価でないときに、検証ツールがそれらを等価であるとみなす場合に生じる。フォールスネガティブは、2 つの表現が

実際には等価であるときに、検証ツールがそれらを等価でないと思なすときに生じる。次の定理は、本発明のアルゴリズムを特徴づける。

【0122】定理2：図7の手続きCompare#STGsは、

(a)「代表的」スケジューリング、及び、(b)実現不可能な反復カウントによるネガティブの可能性がない、という仮定の下で、フォールスポジティブまたはフォールスネガティブを発生しないことが保証される。

【0123】(証明) スケジュール及びビヘイビアがいずれも非巡回的であるとき、フォールスポジティブが発生しないことは、基本的なシンボリックシミュレーションに基づく等価性チェッカの性質である。フォールスネガティブは、非巡回的である場合、シンボリックシミュレータによって非解釈とされる演算の機能の知識が最適化で使用されるときにのみ発生しうる。残りの解析では、シンボリックシミュレーションに基づく等価性チェッカは、非巡回パスにおいて正しい変数対応を見出すという事実に基づいて構築することができる。

【0124】さらに興味深いことは、ループが存在する場合に本発明のアルゴリズムでいつフォールスネガティブ及びポジティブが発生し得るかの解析である。ビヘイビア記述は巡回的(ループを含む)であるがスケジュール記述は非巡回的(ループを含まない)である場合、あるいはその逆の場合は、代表的スケジューリングによって許容されない。両方の記述にループがある場合、生成される変数対応が多すぎるときにフォールスポジティブが起こり、生成される変数対応が少なすぎるときにフォールスネガティブが起こる。

【0125】まずフォールスネガティブを考える。ループ停止の正当性は、本発明の手続きでは、スケジュール及びビヘイビアにおけるループの停止条件どうしの間の対応を確定することによってチェックされる。本発明のアプローチは、実現不可能な反復カウントについて知らない。スケジュール記述を生成するために使用される最適化が実現不可能な反復カウントの知識を使用する場合、本発明の手続きはフォールスネガティブを報告する可能性がある。また、実現不可能な回数の反復の後のみループ本体どうしの間の差が「活性化」されるときにもこれは起こり得る。従って、代表的スケジューリングであり、かつ、実現可能な反復カウントがないという仮定の下では、このようなフォールスネガティブは起こり得ない(証明終)。

【0126】図9に示すように、不変項抽出手続きは、反復のたびに変化しない変数対応のセットを識別するまで、ループを収束するまで反復する。このプロセスで生成される各極小変数対応セット(これは、他の対応セットのサブセットではない)は、ループ終了点の後のコードのシミュレーションを実行するために別々に使用される。ループのn回の実行後に得られる変数対応セットを CS_n で表す。以後のシミュレーションで使用される、

極小変数対応セットの集合を $\{CS^i\}$ で表す。すなわち、 $CS_n \subseteq \{CS^i\}$ は、極小対応セットであり、ループ終了後のシンボリックシミュレーションのために使用される。

【0127】明らかに、 $CS_n \subseteq \{CS^i\}$ でのシミュレーションにより生じるネガティブの等価性結果は、実現不可能な反復カウントがないという仮定と、シンボリックシミュレーション手続きの基本的性質により、真のネガティブである。

【0128】次に、フォールスポジティブを考える。変数対応のセットの固定点(すなわち、 $CS_k = CS_{k+1}$)に到達するのにk+1回の反復が必要であると仮定する。帰納法により、このセットは、 $n \geq k$ に対して、n回の反復に対応する実行されたパスに対する正しい変数対応のセットであるということが出来る。従って、 CS_k でのシミュレーションの後に得られるポジティブの等価性結果は、 $n \geq k$ のすべてのnに対して真のポジティブである。

【0129】ここで、スケジュールにおけるkより少ない回数のループの実行に対応するパスを考える。すなわち、 $n < k$ とする。アルゴリズムは、n回の反復後の終了をチェックするように正しく動作すること、すなわち、この場合にフォールスポジティブがないことを示す必要がある。考慮すべき次の2つの場合がある。

【0130】1. CS_n は、極小対応セットのうちの1つである。すなわち、 $CS_n \subseteq CS^i$ である。この場合、すべての極小対応セットは、ループ終了点以後明示的にシミュレートされるため、 CS_n はフォールスポジティブを発生し得ない。

【0131】2. CS_n は、極小対応セットのうちの1つでない。極小対応セットの定義により、 CS_n は、 $\{CS^i\}$ 内の対応セットのうちの1つのスーパーセットでなければならない。この場合、 $\{CS^i\}$ 内のすべての対応セットでのシンボリックシミュレーションがポジティブの結果を発生する場合、 CS_n でのシンボリックシミュレーションも同様となり、 CS_n で別個のシミュレーションをする必要はない。(他方、 $\{CS^i\}$ 内のいずれかの対応セットでのシンボリックシミュレーションがネガティブを発生する場合、記述は非等価であり、 CS_n でのシンボリックシミュレーションは意味がない。)

【0132】[4. 2. 3. 1 ネストしたループの扱い] ネストしたループを扱うためには、内側のループに入るたびに不変項を解析しなければならない。前述のCompare#STGs手続きに加えて、ループネスティングを決定する解析が必要となる。ネストしたループをどのように扱うかについての直観的な説明は、セクション5. 2のネストしたループの例のケーススタディを参照。

【0133】[4. 3 アルゴリズムの効率] アルゴリズムの効率は、基本的に、次の3つのファクタから導き

出される。

- (1) データパス状態は列挙されない。
- (2) 算術は解釈されない。
- (3) 不変項を抽出するためにループは完了まで反復されない。

【0134】ファクタ(1)及び(2)は、等価性チェックのためのアルゴリズムの内側ループで使用される非解釈シンボリックシミュレータに含まれる。ファクタ

(3)は、本発明の不変項抽出アルゴリズムによる。手続きCompare#STGs()におけるSSTG内のSCC識別及び終了点の識別は、SSTGのサイズに関して線形である。Compare#STGs()におけるパス列挙は、つづいたSSTGに対して行われる。これは、最悪の場合に列挙されるパスの個数が、SSTG内の状態数ではなくスケジュール内のループの個数に関して指数関数的になることを意味する。このパス数は一般に非常に小さい可能性が高い。不変項を抽出するために、列挙に要するループ反復回数は、可能な変数対応関係の個数によって制限される。最悪の場合、これは、ループ本体内の変数の個数に関して2次になり得る。実際には、スケジューリングにおけるエラーがないときの代表的スケジュールの場合、すべての変数対応は、2回のループ反復の列挙により見出される。シンボリックシミュレーション中のブール演算には二分決定ダイアグラム(BDD)が必要とされるが、このようなサブ回路は実際には非常に小さいため、BDD生成がボトルネックとなることはない。シンボリックモデルチェック(symbolic model checking)のような技術に比べて、本発明のアルゴリズムのランタイム計算量(複雑さ)は小さいため、本発明のアルゴリズムは、取り組んでいる特定の検証問題に対する高速なカスタマイズされた解法として適している。

【0135】[4.4 スケジューリング検証システム]本発明の重要な特徴は、回路のスケジュールがビヘイビア記述から得られるような回路のスケジューリングの正当性をチェックするシステムとして実現される。このようなシステムの好ましい実施例を図15に示す。ループ不変項抽出器14.1は、ループが存在するときに非巡回スレッドの十分なセットを決定する。シンボリックシミュレータ14.2は、ループ不変項を抽出する。等価性証明器14.3は、非巡回スレッドの等価性を証明する。このシステムは、

- ・サイクル境界の導入
- ・演算並べ替え
- ・ループの展開、巻付け、折畳み及びパイプライン化
- ・演算の投機実行

のうちの1つ以上により変換されたビヘイビア記述を扱うことが可能である。

【0136】本発明のもう1つの重要な特徴は、回路のビヘイビア記述に対して回路のスケジュールを検証するシステムとして実現される。このようなシステムの好ま

しい実施例を図16に示す。スケジュール状態遷移グラフ生成器15.2は、15.1からスケジュールを受け取り、スケジュールをスケジュール状態遷移グラフとして指定する。ビヘイビア状態遷移グラフ生成器15.3は、回路のビヘイビアをビヘイビア状態遷移グラフとして指定する。スケジュールスレッドセクタ15.4は、スケジュールを受け取り、スケジュール状態遷移グラフから実行のスケジュールスレッドを選択する。ビヘイビアスレッドセクタ15.5は、ビヘイビアを受け取り、ビヘイビア状態遷移グラフから対応するビヘイビアスレッドを選択する。変換器15.6は、スケジュールスレッドをスケジュール構造グラフに、及び、ビヘイビアスレッドをビヘイビア構造グラフに変換する。等価性チェッカ15.7は、前記スケジュール構造グラフと前記ビヘイビア構造グラフの等価性をチェックする。

【0137】[4.5 スケジューリング検証コンピュータシステム]コンピュータは、本発明の技術を実現するための非常に有効な手段である。本発明の技術を実現するこのようなコンピュータシステムもまた本発明の技術的範囲内に入る。このようなコンピュータは、プロセッサ及びメモリを有する。メモリは、コンピュータが回路のスケジューリングの正当性をチェックすることを可能にする命令を含む。ここで、回路のスケジュールは、そのビヘイビア記述から得られる。具体的には、メモリ内の命令は、ループが存在するときに非巡回スレッドの十分なセットを決定するためにループ不変項を抽出する命令を含む。さらに、命令は、ループ不変項を抽出するためのシンボリックシミュレーションの命令を含む。さらに、命令は、非巡回スレッドの等価性を証明する命令を含む。

【0138】なお、コンピュータは、PC、メインフレーム、ワークステーションあるいはネットワーク上のリモートコンピュータを含むいかなる種類のコンピュータとすることも可能である。

【0139】コンピュータシステムの好ましい実施例は、命令を含むメモリを有するコンピュータからなる。この命令は、コンピュータが、図4に示した擬似コードを実行することを可能にする。別の好ましい実施例は、コンピュータが、図7～図9に示した擬似コードを、単独に、またはすべての可能な組合せで、実行することを可能にする命令を含むメモリを有するコンピュータからなる。

【0140】なお、命令は、高水準言語、低水準言語、アセンブリ言語及び機械語を含む(これらに限定されない)任意の形式とすることが可能である。

【0141】[4.6 スケジューリング検証コンピュータプログラム製品]本発明の重要な特徴は、コンピュータプログラム製品として実現される。このプログラム製品は、コンピュータが回路のスケジューリングの正当性をチェックすることを可能にする命令を有するコンピ

ュータ可読媒体を含む。なお、コンピュータ可読媒体は、フロッピー（登録商標）ディスク、ハードディスク、CD、チップ、テープ、IC付きカートリッジなどを含む（これらに限定されない）任意の固定媒体を含む。コンピュータ可読媒体は、ネットワークを通じて伝送される、あるいは、インターネットからダウンロードされる命令も含む。

【0142】好ましい実施例では、コンピュータコードは、コンピュータが回路のスケジューリングの正当性をチェックすることを可能にする。ここで、回路に対するスケジューリングは、ビヘイビア記述から得られる。コンピュータコードは、ループが存在するときに非巡回スレッドの十分なセットを決定するためにループ不変項を抽出するコンピュータコードと、ループ不変項を抽出するためのシンボリックシミュレーションのコンピュータコードと、非巡回スレッドの等価性を証明するコンピュータコードとを含む。

【0143】コンピュータプログラム製品の好ましい実施例は、コンピュータコードを含むコンピュータ可読媒体を含む。このコンピュータコードは、コンピュータが、図4に示した擬似コードを実行することを可能にする。別の好ましい実施例は、コンピュータが、図7～図9に示した擬似コードを、単独に、またはすべての可能な組合せで、実行することを可能にするコードを含むコンピュータ可読媒体を含むコンピュータプログラム製品からなる。

【0144】なお、コンピュータコードは、高水準言語、低水準言語、アセンブリ言語及び機械語を含む（これらに限定されない）任意の形式とすることが可能である。

【0145】

【発明の効果】〔4.7 結果：ケーススタディ〕本発明を適用した結果について、本発明のアルゴリズムを我々の実際のスケジューリングの例に適用した詳細なケーススタディの形で提示する。これらの設計は、状態変数の個数及び算術演算の計算量（複雑さ）に関して十分に大きいため、状態マシン等価性やシンボリックモデルチェックに基づく従来のBDDによる検証アプローチでは確実に失敗する。

【0146】4.7.1 投機スケジューリングの例
図10(a)に示すビヘイビアSTGを考える。このビヘイビアを、投機実行及びループ変換を含む最新のスケジューラによってスケジューリングした。結果として得られたスケジューリングSTGを図10(b)に示す。ビヘイビア内のループを考える。定常状態では（すなわち、ループが多数回実行されると仮定すると）、スケジューリングSTGは、状態S6からなるSCCをたどることに注意する。スケジューリングの解析を実行することによって、定常状態では、ループの新たな反復がクロックサイクルごとに開始され、大きなパフォーマンス改善につながる

ことを示すことが可能である。

【0147】検証の観点から、この例で興味深い点は、この例は、セクション1.2で言及したほとんどの最適化（サイクル境界の導入、演算の並べ替え、パスセグメントの複製、ループパイプライン化、及び投機実行）を同時に含むことである。これらの最適化は、スケジューリングの複雑さを大幅に増大させる。ビヘイビアSTGのVHDL記述は、122行のコードからなり、7個の演算及び8個の中間変数（プライマリ入力及びプライマリ出力を除く）を含むのに対して、スケジューリングSTGのVHDL記述は、289行のコードからなり、47個の演算及び54個の中間変数を含む。明らかに、ビヘイビアとスケジューリングの構造同型チェックでは、これらの等価性を証明することはできない。（データパス+制御）状態空間をたどるVSIのような従来の低レベル（例えば、ゲートレベル）のFSM等価性チェックツールでは非常に困難になる。ビヘイビアSTGは250個の状態ビットを含み、スケジューリングSTGはさらに大幅に多くの状態ビットを含む。R. K. Brayton et al., "VIS: A system for verification and synthesis", in Proc. Int. Conf. Computer-Aided Verification, July 1996、を参照。

【0148】図10(a)及び(b)に示す2つのSTGの等価性を証明するために本発明の検証手続きで実行されるさまざまなステップについて説明する。図7に示した手続きCompare#STGsの第4行により、STGで最初に列挙されるスレッドは、(SA, SG)、(SA, SB, SC, SD, SE, SF, SG)、(SA, SB, SC, SD, SE, SF, SF, SG)、及び(SA, SB, SC, SD, SE, SF, SF, SF, SG)である。これらのスレッドのそれぞれについて、手続きは、ビヘイビア及びスケジューリングに対する構造グラフを生成し、セクション3で説明したシンボリックシミュレーション手続きを用いてその出力の等価性を証明する。さらに、スレッド(SA, SB, SC, SD, SE, SF, SF, SF, SG)については、ループ不変項を抽出する手続きを呼び出す。

【0149】シンボリックシミュレーションがどのように進行してループ不変項を検出するかを調べるために、ここでは、スレッドT1=(SA, SB, SC, SD, SE, SF, SF, SG)を考える。スケジューリング構造グラフSSGT1を図11に示す。スケジューリング内の状態境界に対応する構造グラフ内のカットは点線を用いて示される。

【0150】手続きConstrained#Symbolic#Simulationは、ビヘイビア、及び対応する構造グラフにおける、対応するスレッドを自動的に抽出する。結果として得られるビヘイビアスレッドはT2=(S0, S1, ..., S7, S1, ..., S7, S1, S8)であり、その構造グラフ(BSGT2)は図12に示される。なお、スケジ

ュールとビヘイビアのSTGにおける状態境界は対応していないため、SSGT₁内のカットに対応するBSGT₂内の「カット」は、等価関係を用いて決定される。例えば、SSGT₁内の第1のカットにおける信号に関する等価関係は、(t4, t4, 1), (M2, M2, 1), (c, c, 1), (i#gt1#0, i#1, 1), (i', i#1, c)である。ここで、エントリ(s1, s2, cond)は、SSGT₁内の信号s1とBSGT₂内の信号s2が条件condの下で等価であることを意味する。理解されるように、信号cとi#1は、BSGT₂内の対応するカットを形成する。SSGT₁の第5及び第6のカットに対応してBSGT₂内で形成されるカットは、図12で点線を用いて示されている。これらのカットは、状態SFを含むスケジュールSTGループの第1回の実行の開始及び終了を表す。これらの2つのカットのメンバである信号に関する等価関係は、(i', i#1, c), (i#gt1#1, i#2, c), (t4, t4, c), (t3#gt1#1, t3#1, c)及び(c', c#1, c), (M2', M2#1, c), (t4', t4#1, c.c#1, i', i#2, c.c#1)である。

【0151】上記のことから明らかに示されるように、ループ境界変数の多くについての対応は存在しない(例えば、t3' #gt1#1, t2' #gt1#2, など)。さらに解析すれば理解されるように、SSGT₁の大部分(図中影を付けた部分)はシミュレートされていない。スケジュール内のループをもう1回展開することにより、影部分の変数について新たな等価関係が見出される(すなわち、ループ不変項のセットが増大する)。この例では、ループ変数間の等価関係が収束するためには全部で6回ループを展開する必要があることを示すことができる。なお、ビヘイビア内のループは、スケジュールを導出する際にスケジュールによって(偶然の一致ではなく)ファクタ6でパイプライン化されたことに注目すると興味深い。

【0152】4. 7. 2 X. 25通信プロトコル
この例は、X. 25通信プロトコルの送信(send)プロセスである。S. Bhattacharya, S. Dey, and F. Brglez, "Performance analysis and optimization of schedules for conditional and loop-intensive specifications", in Proc. Design Automation Conf., pp.491-496, June 1994, を参照。演算への状態の直接的な割当てによるビヘイビアに対する制御フローグラフを図13

(a)に示す。なお、これは配列変数を使用している。配列アクセスは、非解釈関数であるとみなされる。配列インデックスと配列名は対応することが保証される。これから得られる正しいスケジュールを図13(b)に示す。各状態内の数字は、その状態内で実行される演算に対応する。この例は2つの理由により興味深い。第1の理由は、状態S11及びS12に対応するネストしたループである。第2の理由は、スケジュール内のパスに対して生成されるデータフローグラフは、ビヘイビアにおいて生成される対応するパスと構造的に同型ではないことである。図13(c)に、同じビヘイビアに対する正

しくないスケジュールを示す。ループのネスティングを見出すためには、スケジュールのSTGに対する正規表現(regularexpression)を導出する。Z. Kohavi, "Switching and Finite Automata Theory", McGraw-Hill Book Company, second ed., 1978, を参照。

【0153】まず図13(b)を考える。これに対して導出される正規表現は $S_0S_1S_2S_4(S_3S_4)^*(S_5S_2S_4(S_3S_4)^*)^*S_6$ である。上付きの*のある各部分表現はループ本体を構成する。これは明確にループのネスティングを識別する。パス列挙がループ本体に遭遇するたびに、そのループに対する不変項を識別しなければならない。例えば、部分表現 $(S_5S_2S_4(S_3S_4)^*)^*$ において、内側ループ $(S_3S_4)^*$ の不変項は、外側ループの不変項を導出するために外側ループに要求される反復回数と同じ回数だけ抽出されなければならない。手続きの残りの部分は前と同じであり、第1のケーススタディの通りに従う。

【0154】次に、図13(c)を考える。導出される正規表現は、 $S_0S_1S_2S_4((S_3S_2S_4)^* + (S_5S_2S_4)^*)^*S_6$ である。この正規表現は、外側ループの内部に共通の部分表現を有する2つのループを含むという点で前のものとは異なる。部分表現 $((S_3S_2S_4)^* + (S_5S_2S_4)^*)^*$ における、外側ループのループ不変項を決定することは興味深い。これを達成するため、変数対応が安定するまで、外側ループの有限回の反復が評価されなければならない。外側ループが反復されるたびに、内側ループのインスタンス化のすべての可能な組合せが考慮される。例えば、外側ループが部分表現 $(A^* + B^*)^*$ である場合、外側ループの2回の実行は、4回のパス、すなわち、

$A^*A^*, A^*B^*, B^*A^*, B^*B^*$

に沿って変数対応を計算しなければならないことを意味する。なお、各パスは、それぞれネスティングのないループからなる。外側ループの3回目の実行で、列挙されるパスは次のようになる。

$A^*A^*A^*, A^*B^*A^*, B^*A^*A^*, B^*B^*A^*, A^*A^*B^*, A^*B^*B^*, B^*A^*B^*, B^*B^*B^*$

外側ループに対するループ不変性を証明するためには、外側ループのn回目の実行における部分パス P_n から生成される変数対応が、 P_n から導出されるn+1回目の実行におけるすべての部分パスから生成される対応と同じままであることを示さなければならない。例えば、上記の仮設的な例では、外側ループの2回目の実行後に A^*A^* から生成されるループ対応は、3回目の実行において $A^*A^*A^*$ 及び $A^*A^*B^*$ から生成される対応と同じままでなければならない。図13(c)におけるスケジュールは、状態S3から出る遷移の正しくない実現の結果、実際には正しくない。これは、本発明の手続きでは検出される。2つの表現におけるdata変数の間に対応を確立することが不可能であるからである。

【図1】

```

P1 : process
  Variable t6 : integer;

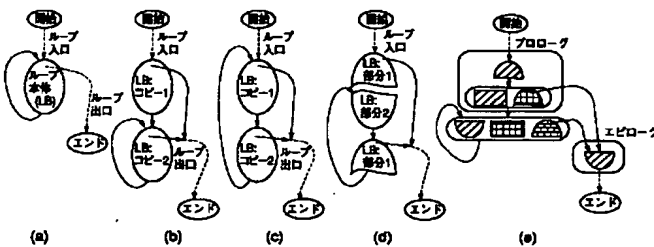
begin
  x_var <= Xinport;
  dx_var <= Dlexport;
  y_var <= Yinport;
  u_var <= Uinport;
  wait for 0ns;
  wait until clk='1' and clk'event; -- CLOCK EDGE

  while (x_var < a_var) loop
    t6 := u_var - u_var * dx_var * x_var;
    u_var <= t6 - dx_var * three * y_var;
    wait until clk='1' and clk'event; -- CLOCK EDGE
    y_var <= y_var + u_var * dx_var;
    x_var <= x_var + dx_var;
    wait for 0ns;
  and loop;

  Xoutport <= x_var;
  Youtport <= y_var;
  Uoutport <= u_var;
  and process P1;

```

【図3】



【図4】

Procedure COMPARE_STRUCTURE_GRAPH(BSG_T , $BSG_{T'}$)

$Arr1 := Dfs_Sort(BSG_T)$

$Arr2 := Dfs_Sort(BSG_{T'})$

Identify basic variables in BSG_T :

Symbolic simulate $BSG_{T'}$ to express non-basic vars in

terms of basic vars;

Construct equivalence lists for IN nodes in BSG_T :

For each element($Arr2$, v) {

 switch(TYPE(v)) {

 case Mux:

 For each data input v_{fanin} of v {

 For each entry (u, c) in equivalence list of v_{fanin}

 ADD-EQUIVALENCE($v, u, c \cap select_cond$);

 case OP:

 Identify corresponding OP vertex u_{op} in $BSG_{T'}$ such that

 (i) u_{op} and v perform the same operation, AND

 (ii) inputs of v have conditional equivalences

 with corresponding inputs of u_{op} ;

 cond = conjunction of conditions;

 if cond $\neq 0$ {

 ADD-EQUIVALENCE($v, u_{op}, cond$);

 case LOGIC:

 convert input lists into BDD nodes and propagate;

 case PO:

 If equivalence exists with corresponding PO in $BSG_{T'}$

 and condition is 1

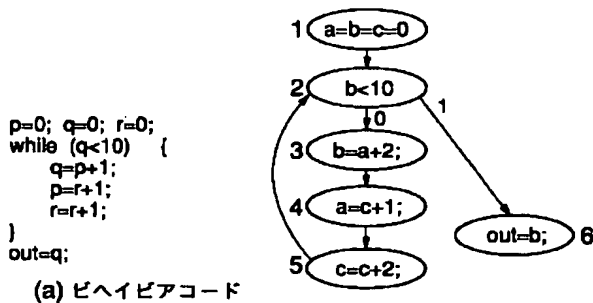
 continue;

 else

 return(Error); }

 return(Equivalence);

【図6】



(b) スケジュール STG

【図 2】

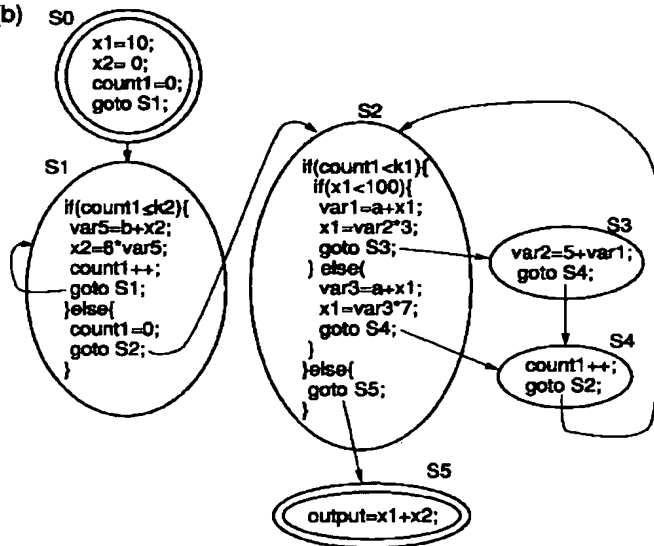
(a)

```

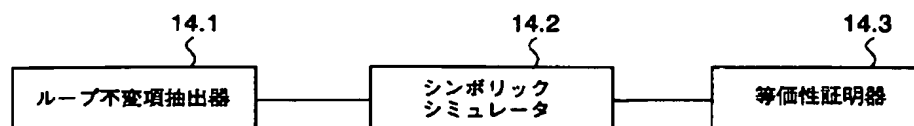
int Test1(int k1, int k2, int a, int b){
    int x1, x2, var1, var2, var3, var4, var5;
    x1 = 10;
    x2 = 0;
    for (int count1 = 0; count1 <= k1; count1++) {
        // <=1 and ++1
        if (x1 < 100) { // +1
            var1 = a + x1; // +1
            var2 = 5 + var1; // +2
            x1 = var2 * 3; // *1
        }
        else {
            var3 = a + x1; // +3
            x1 = var3 * 7; // *2
        }
    }
    for (int count1 = 0; count1 <= k2; count1++) {
        // <=2 and ++2
        var5 = b + x2; // +4
        x2 = 6 * var5; // *3
    }
    return (x1 + x2); // +5
}

```

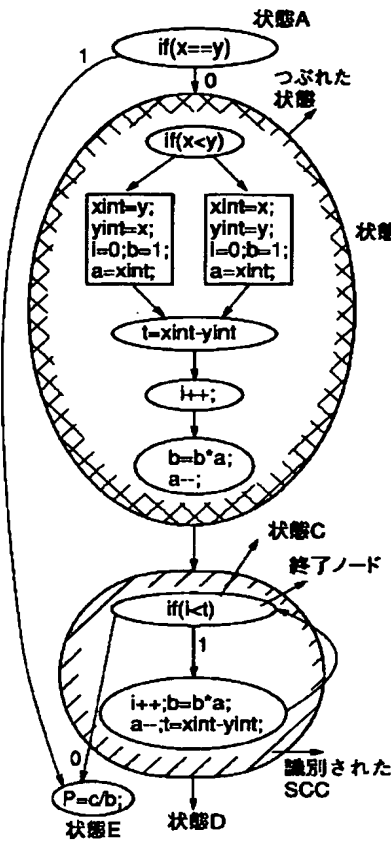
(b) S0



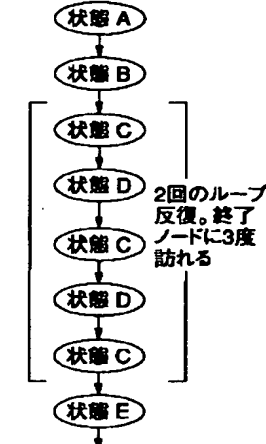
【図 15】



【図 5】



(a) SSTGから得られる簡約グラフ



(b) 簡約STGで列挙される 1つのパス

【図 8】

Procedure CONSTRAINED_SYMBOLIC_SIMULATION(*BSG*, *SSG*, *PathSignal*)

```
{
1. Permissible_Paths = Begin state in BSG
2. do {
3.   For each unvisited state Si in Permissible_Paths {
4.     BSG = Generate_StructuralRTL(BSG, Permissible_Paths)
5.     Uninterpreted_Symbolic_Simulation(SSG, BSG)
6.     For each outgoing transition Si → Sj {
7.       If conjunction of transition condition and PathSignal
         is not 0 {
8.         Add new copy Sj to Permissible_Paths
9.       }
10.    }
11. } until (the only unvisited states in Permissible_Paths
         are instances of the END state)
}
```

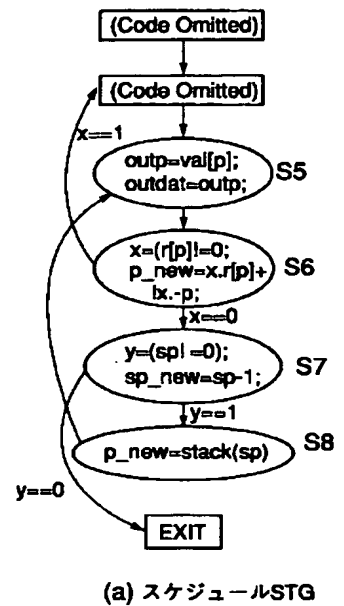
【図 9】

Procedure RETURN_LOOP_INVARIANTS(*ssg_cuts* 1, 2 and 3)

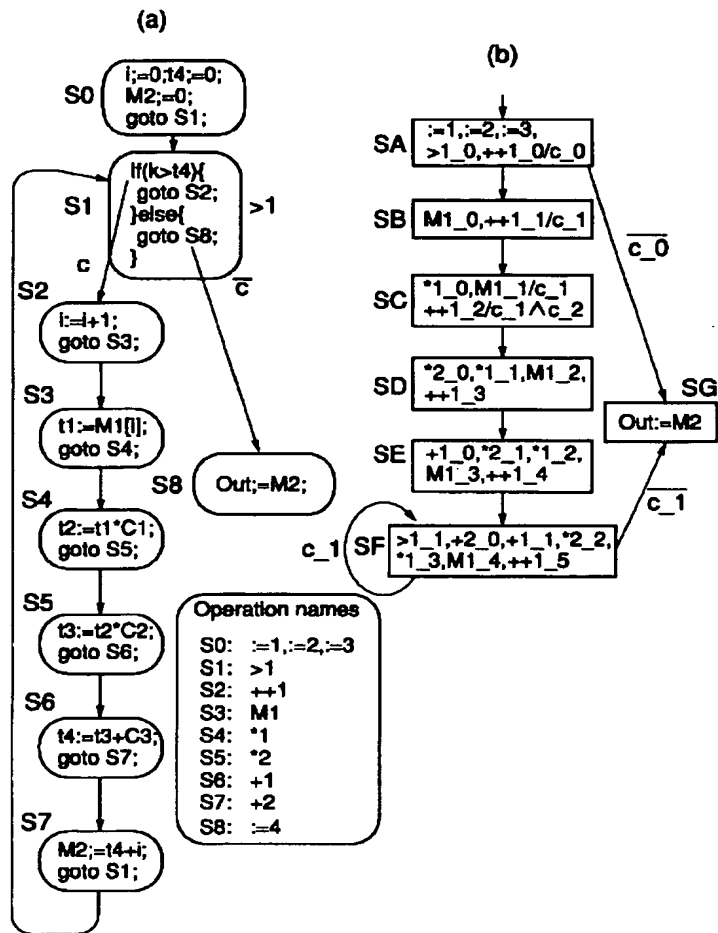
```
{
1. bsg_cuts = cuts in BSG corresponding to ssg_cuts
2. Derive the two subcircuits between bsg_cuts 1, 2 and 3
3. Check that these subcircuits are isomorphic
4. If not isomorphic, return corresp_set_list = {NULL}
5. corresp_set_n = correspondences associated with bsg_cut_2
6. corresp_set_n+1 = correspondences associated with bsg_cut_3
7. while (corresp_set_n ≠ corresp_set_n+1) {
8.   If corresp_set_n+1 is a subset of corresp_set_n {
9.     corresp_set_list = corresp_set_list ∪ corresp_set_n+1
10.  }
11. corresp_set_n = corresp_set_n+1
12. propagate corresp_set_n forward for one loop iteration
    by symbolic simulation
13. }
14. corresp_set_list = corresp_set_list ∪ corresp_set_n+1
15. remove all entries in corresp_set_list that are supersets of
    other entries;
16. return corresp_set_list
}
```


【図 14】

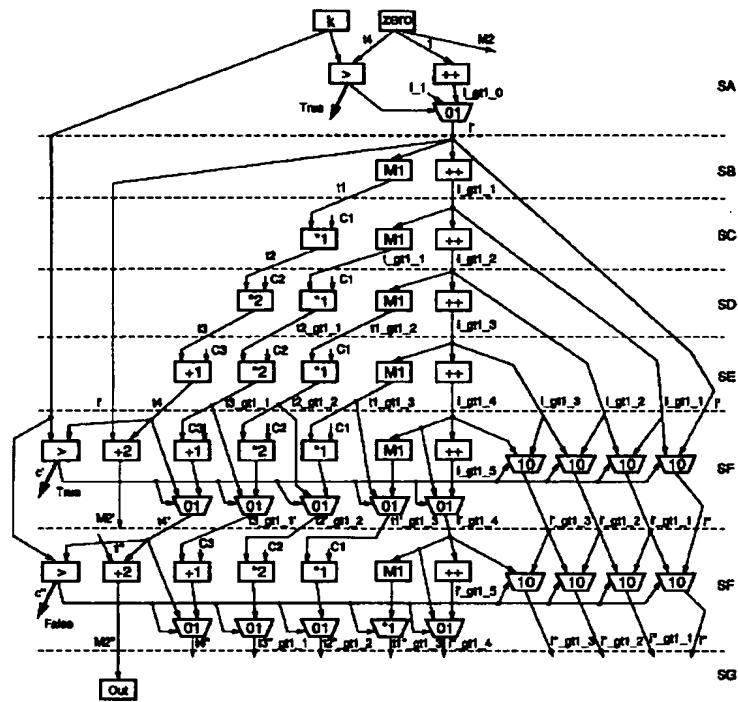
1. Identify SCCs in SSTG
2. Identify exit nodes in each SCC
3. Collapse nodes not in SCCs and nodes in SCCs that are not exit nodes
4. Foreach path from root to sink such that any exit point appears 0, 1, and 3 times {
 - # Through symbolic simulation,
 - # identify the corresponding path in the BSTO
5. Obtain the structural RTL circuit (*SSG*) for the path - also returns cuts for the begin and end of each SCC
6. Add circuitry to *SSG* to generate *PathSignal*
7. Constructed symbolic simulation(*BSTG*, *SSG*, *PathSignal*)
8. Foreach SCC in the path in order from root {
9. *corresp.set.list* = return_loop_lowerlimits(*srg.cuts* 1, 2 and 3)
10. Foreach *corresp.set* in *corresp.set.list* {
11. If (*corresp.set* is smaller than the correspondence set associated with *srg.cut* 1) {
12. Redefine symbolic simulation from the third cut using only the *corresp.set*
13. }
14. Cotactor output equivalence conditions with path condition
15. If resulting output equivalence is not unconditional {
16. return equivalent
17. }
18. }
19. }
20. }
21. }
22. }
23. }
24. }
25. }
26. }
27. }
28. }
29. }
30. }
31. }
32. }
33. }
34. }
35. }
36. }
37. }
38. }
39. }
40. }
41. }
42. }
43. }
44. }
45. }
46. }
47. }
48. }
49. }
50. }
51. }
52. }
53. }
54. }
55. }
56. }
57. }
58. }
59. }
60. }
61. }
62. }
63. }
64. }
65. }
66. }
67. }
68. }
69. }
70. }
71. }
72. }
73. }
74. }
75. }
76. }
77. }
78. }
79. }
80. }
81. }
82. }
83. }
84. }
85. }
86. }
87. }
88. }
89. }
90. }
91. }
92. }
93. }
94. }
95. }
96. }
97. }
98. }
99. }
100. }



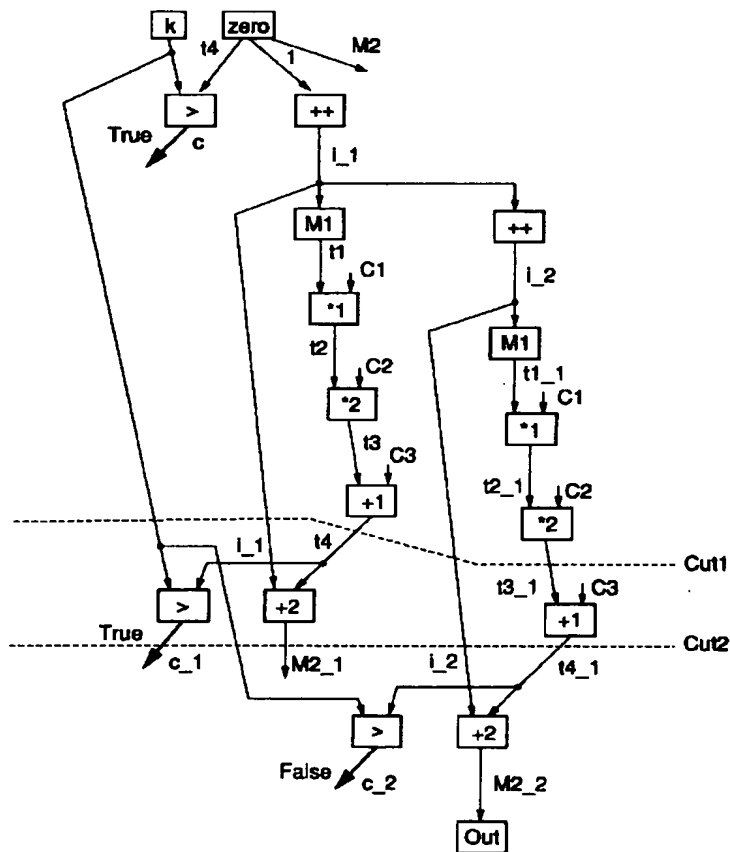
【図 10】



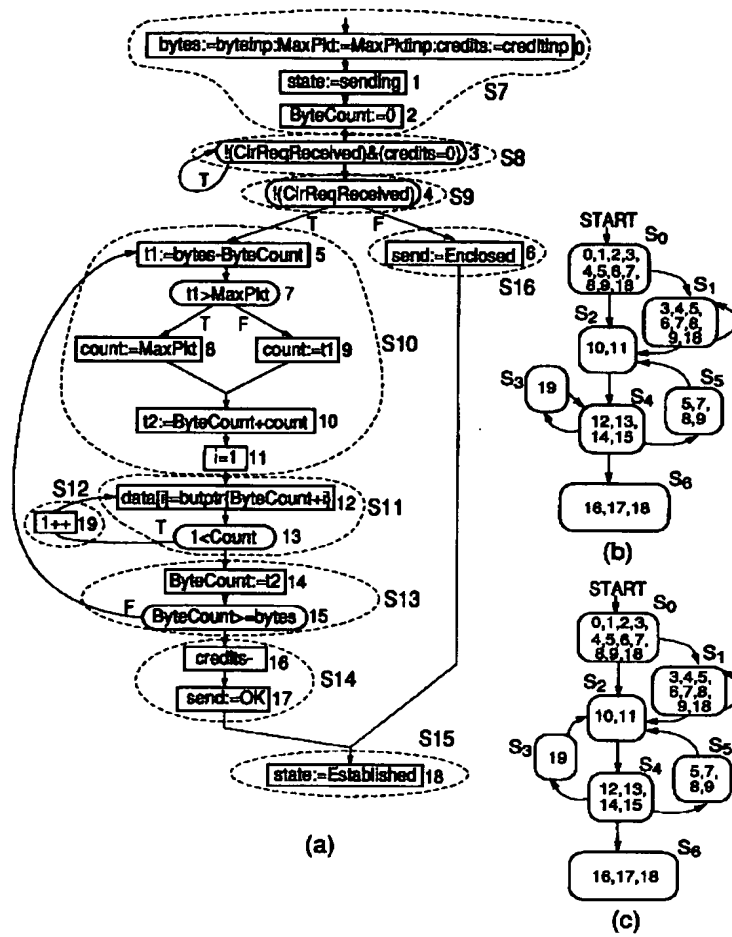
【図 11】



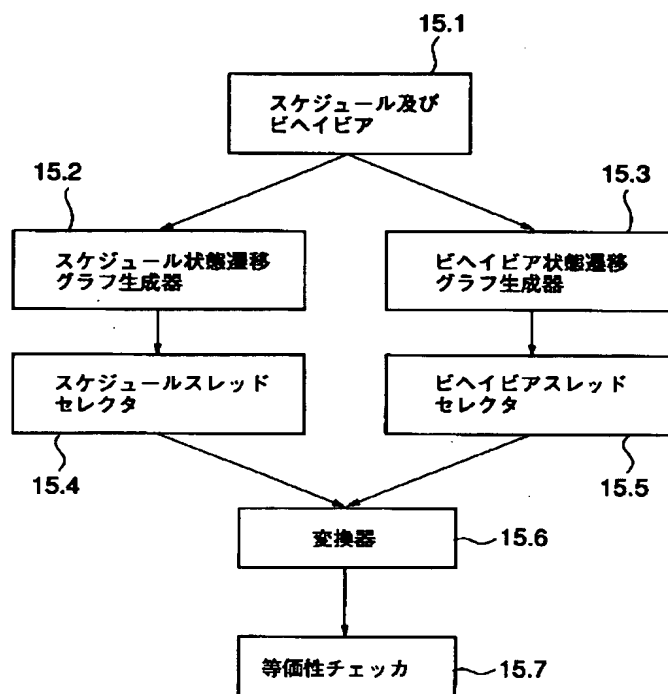
【図 12】



【図 13】



【図 16】



フロントページの続き

(72) 発明者 スブラジット・バタチャリヤ
アメリカ合衆国, ニュージャージー
08540 プリンストン, 4 インディペン
デンス ウエイ, エヌ・イー・シー・ユ
ー・エス・エー・インク内

(72) 発明者 アナンド・ラグナサン
アメリカ合衆国, ニュージャージー
08540 プリンストン, 4 インディペン
デンス ウエイ, エヌ・イー・シー・ユ
ー・エス・エー・インク内

(72) 発明者 アーティ・グプタ
アメリカ合衆国, ニュージャージー
08540 プリンストン, 4 インディペン
デンス ウエイ, エヌ・イー・シー・ユ
ー・エス・エー・インク内

Fターム(参考) 5B046 AA08 BA03 JA01 JA04